

日地環境與太空天氣



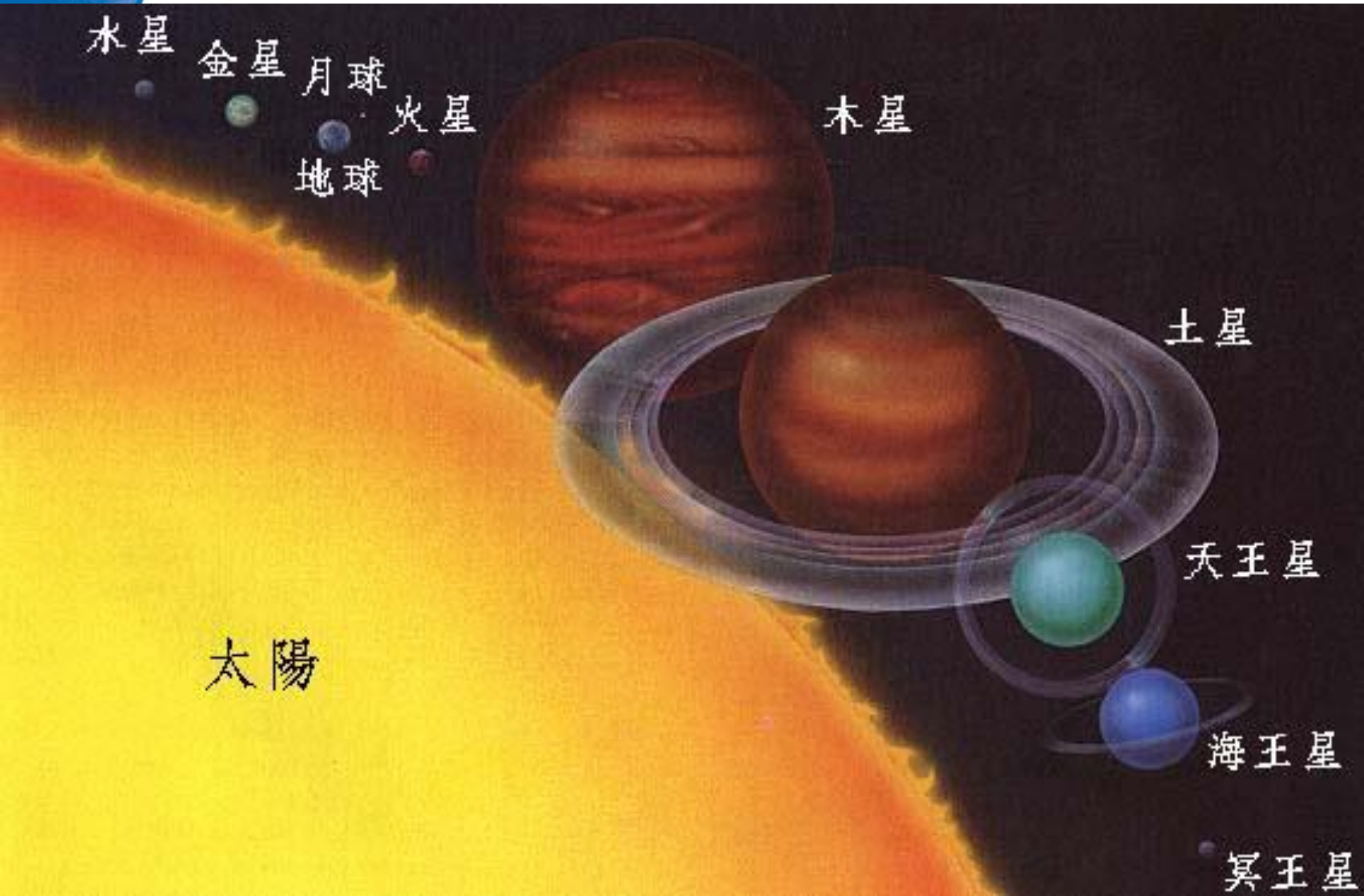
劉正彥 jyliu@jupiter.ss.ncu.edu.tw

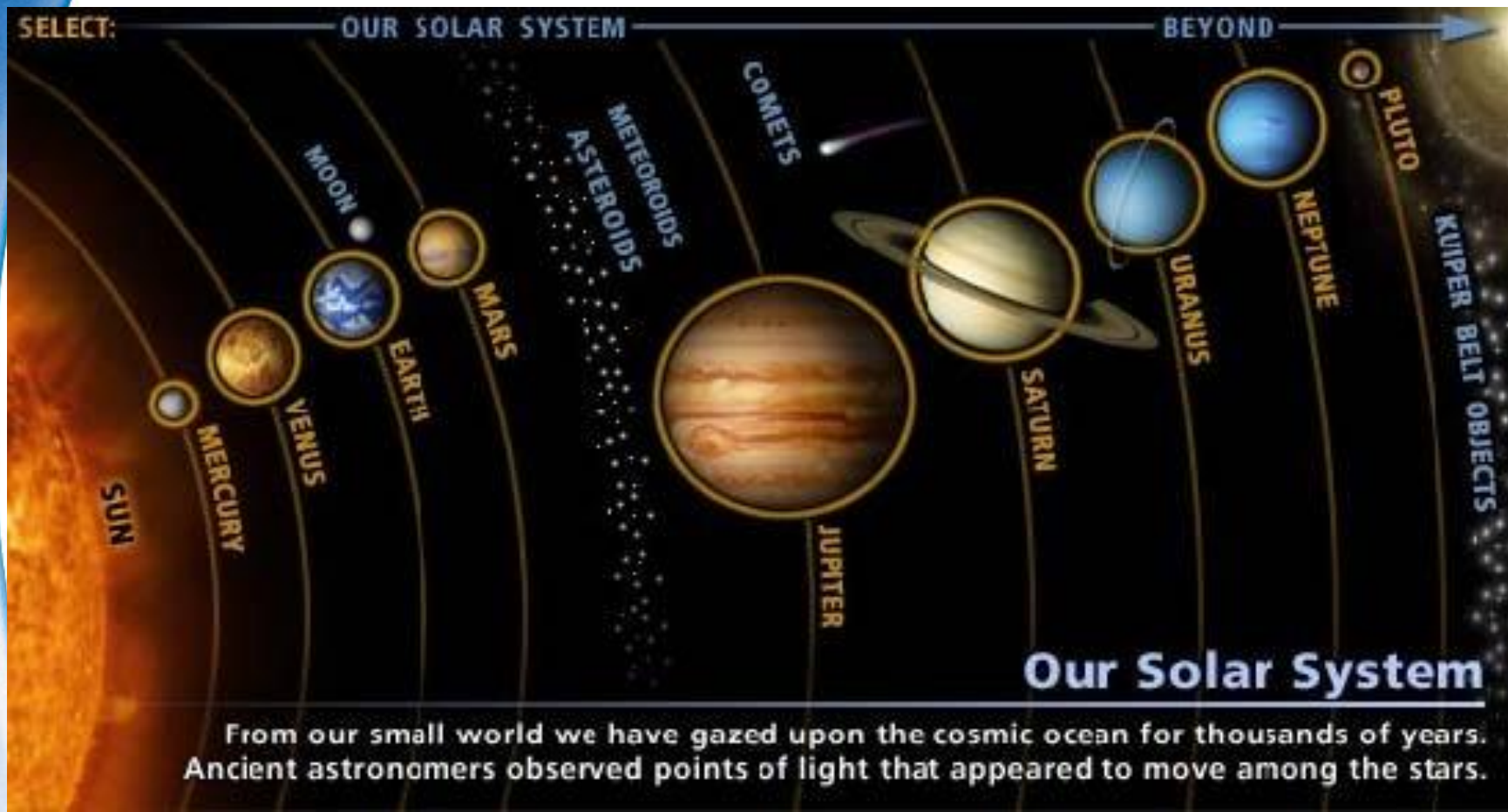
國立中央大學太空科學研究所
佛光大會通識教育-太空科學篇

Content

- 行星際太空
 - - 日地環境
- 太空天氣
 - - 太陽風暴
- - 地球四大守護神

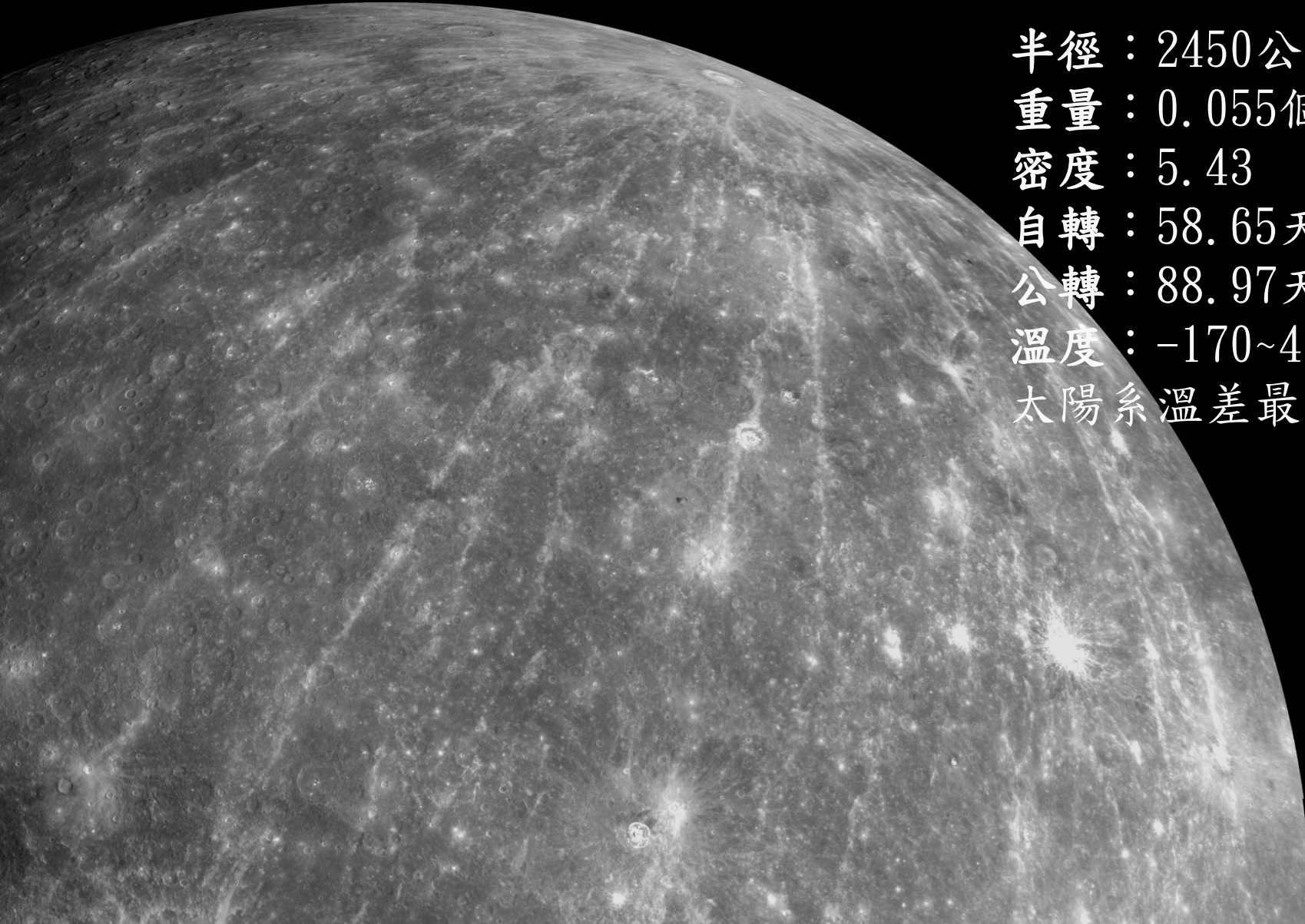
行星際太空





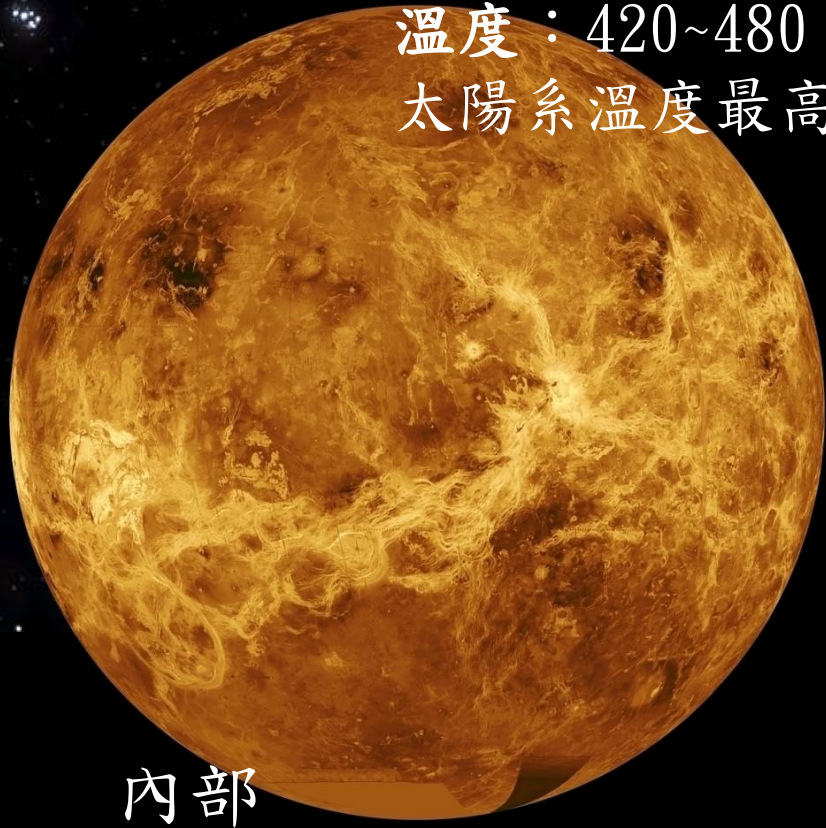
	表面溫度	自轉(日)	公轉週期	衛星	密度	重量	體積	太陽系之最
水星	-170~430	58. 65	88. 97日	0	5. 43	0. 055	0. 056	溫差最大
金星	420~485	243	224日	0	5. 24	0. 815	0. 857	溫度最高
地球	-60~50	0. 997	365. 26日	1	5. 52	1	1	密度最大
火星	-100~15	1. 026	686. 98日	2	3. 93	0. 107	0. 151	高山峽谷
木星	-150	0. 414	11. 86年	67	1. 33	317. 83	1316	體積最大
土星	-175	0. 444	29. 46年	62	0. 69	95. 16	745	密度最小
天王星	-180	0. 718	84. 02年	25	1. 27	14. 54	65. 2	自轉軸最怪
海王星	-200	0. 671	164. 77年	13	1. 64	17. 15	56	距日最遠
冥王星	-215	6. 38	247. 8年	1	2. 13	0. 0022	0. 006	最大冰球

水星(Mercury)



半徑 : 2450公里
重量 : 0. 055個地球
密度 : 5. 43
自轉 : 58. 65天
公轉 : 88. 97天
溫度 : -170~430
太陽系溫差最大

金星(Venus)



內部

半徑 : 6050公里
重量 : 0.815個地球
密度 : 5.24
自轉 : 243天
公轉 : 224天
溫度 : 420~480
太陽系溫度最高

火星(Mars)



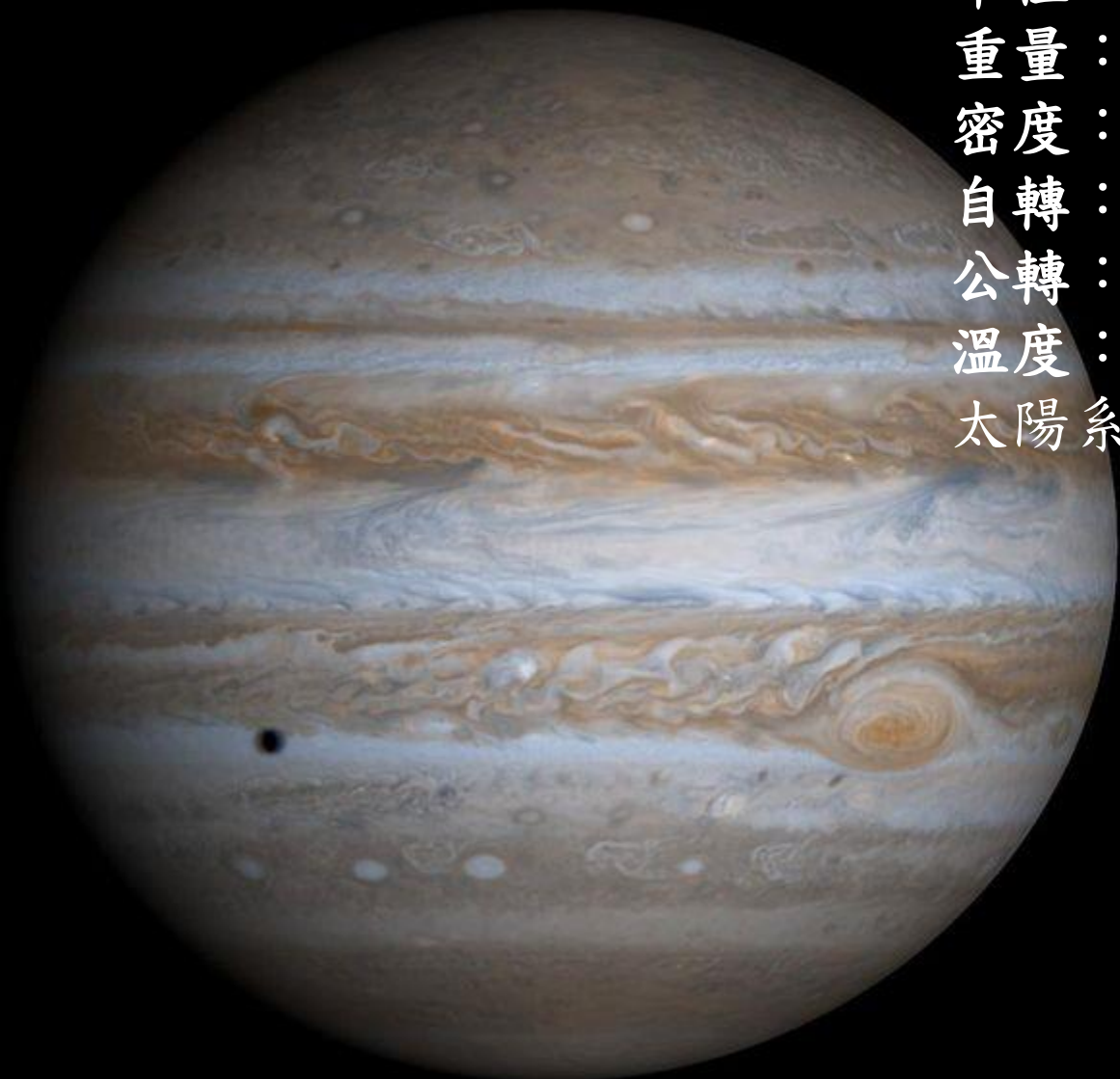
太陽系最長的峽谷
水手峽谷，長3769公里

太陽系最高的山
奧林帕斯山，海拔21000公尺



半徑：3400公里
重量：0.107個地球
密度：5.43
自轉：1.02天
公轉：686.98天
溫度：-100~15
最高山與最長峽谷

木星(Jupiter)



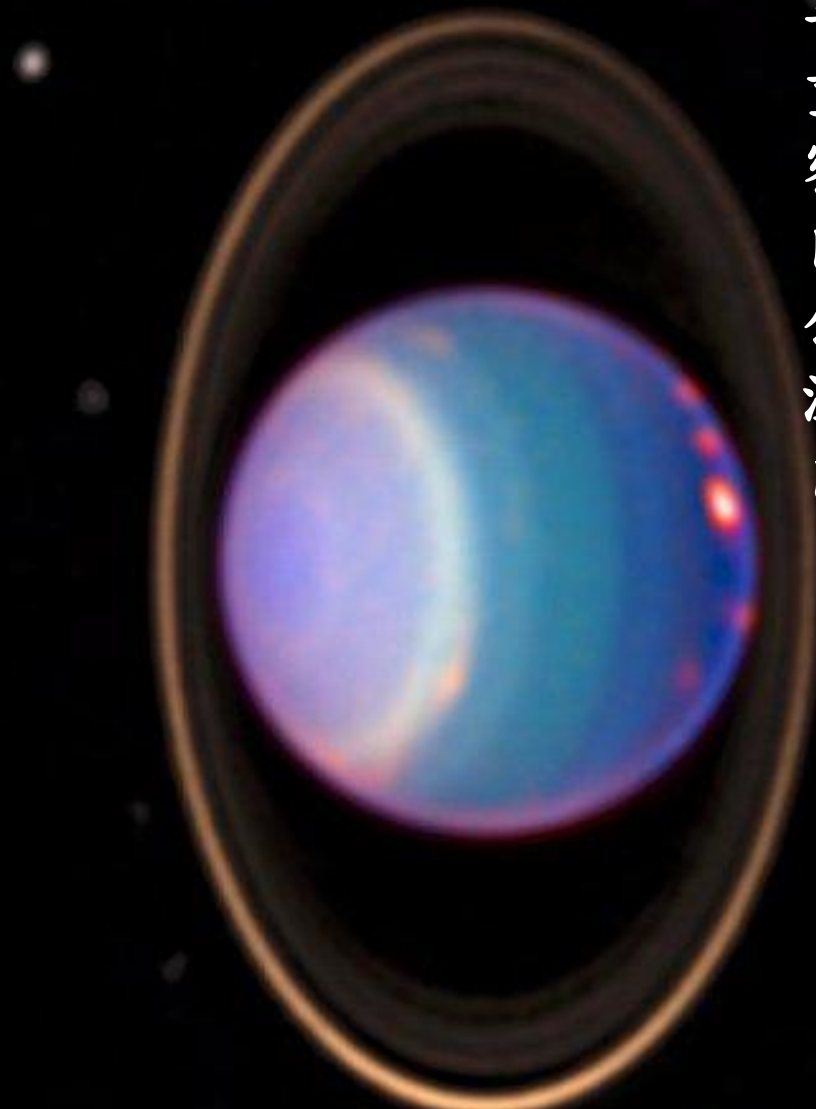
半徑：71492公里
重量：317.83個地球
密度：1.33
自轉：0.414天
公轉：11.86年
溫度：-150
太陽系體積最大

土星(Saturn)

半徑：60000公里
重量：95.16個地球
密度：0.69
自轉：0.44天
公轉：29.16年
溫度：-175
太陽系密度最大

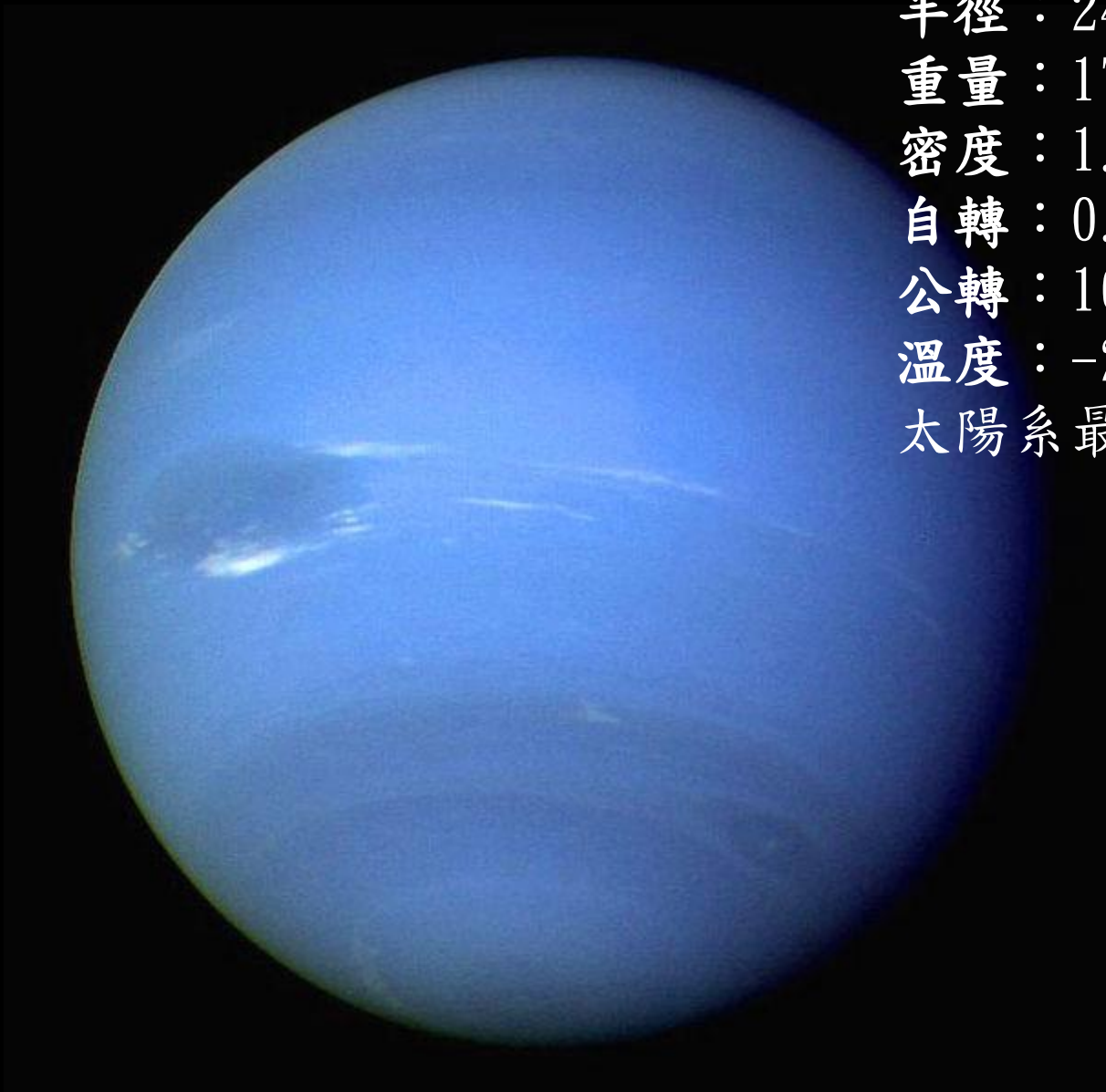


天王星(Uranus)

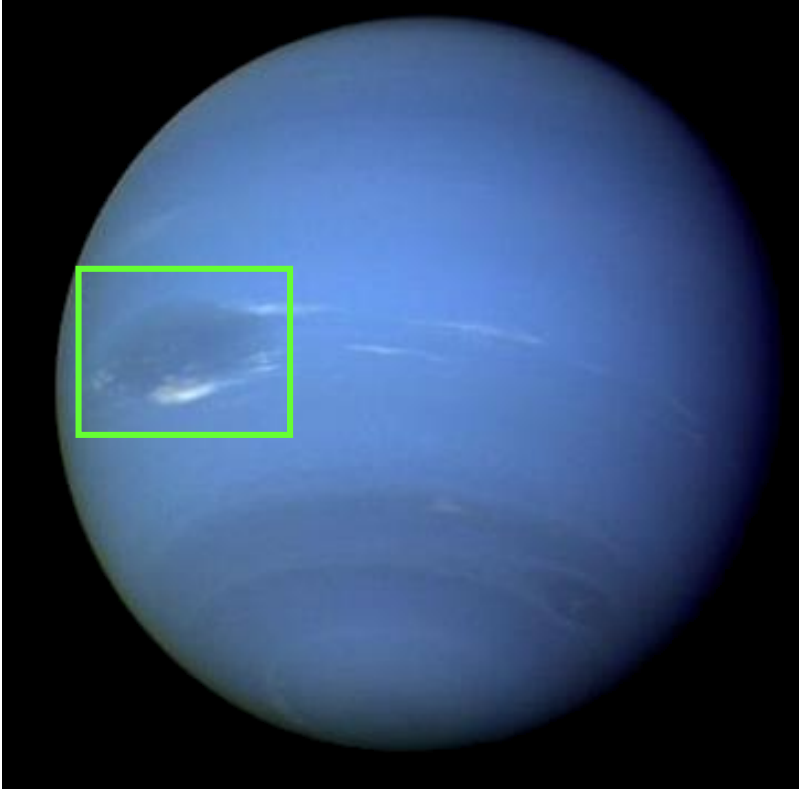
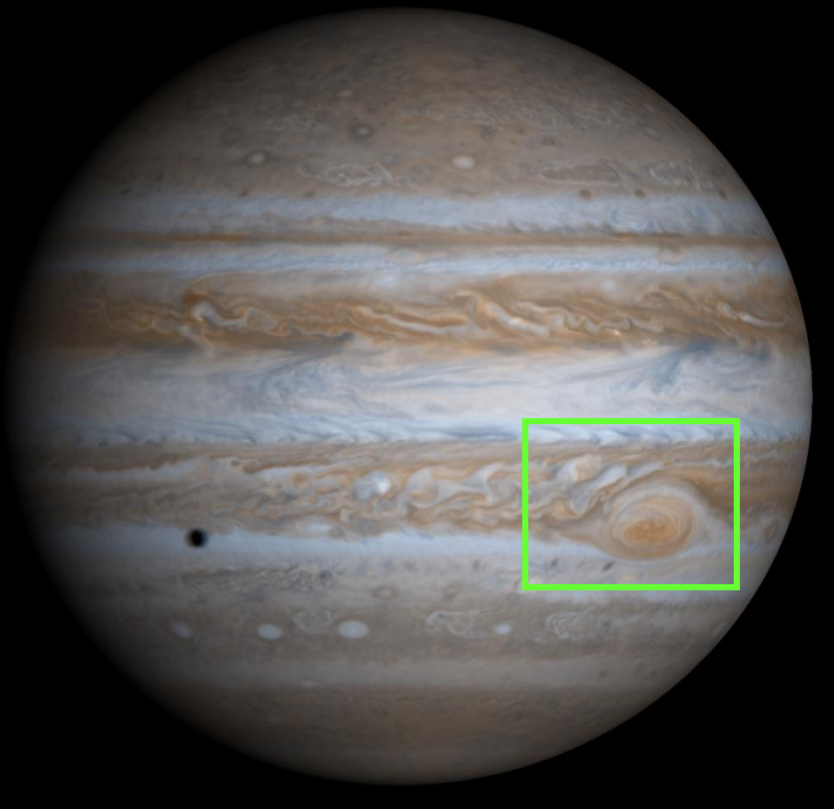


半徑：26000公里
重量：14.54個地球
密度：1.27
自轉：0.718天
公轉：84.02年
溫度：-180
自轉軸最怪

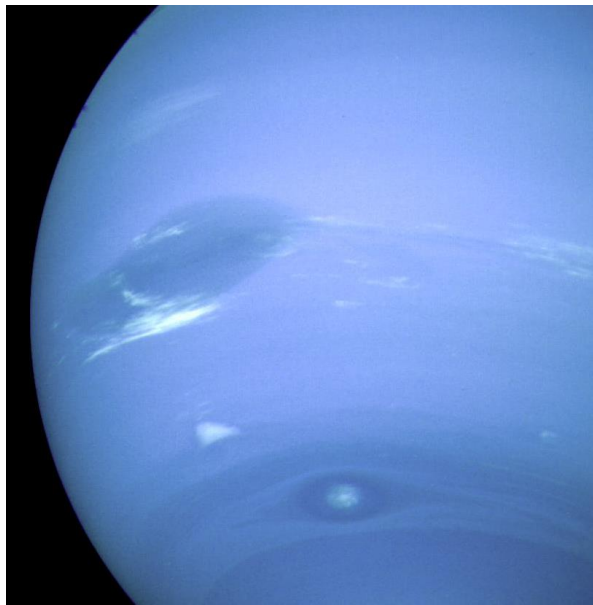
海王星(Neptunus)



半徑：24760公里
重量：17.15個地球
密度：1.64
自轉：0.67天
公轉：164.77年
溫度：-200
太陽系最外行星



Jupiter
HST ACS/HRC
April 25, 2006



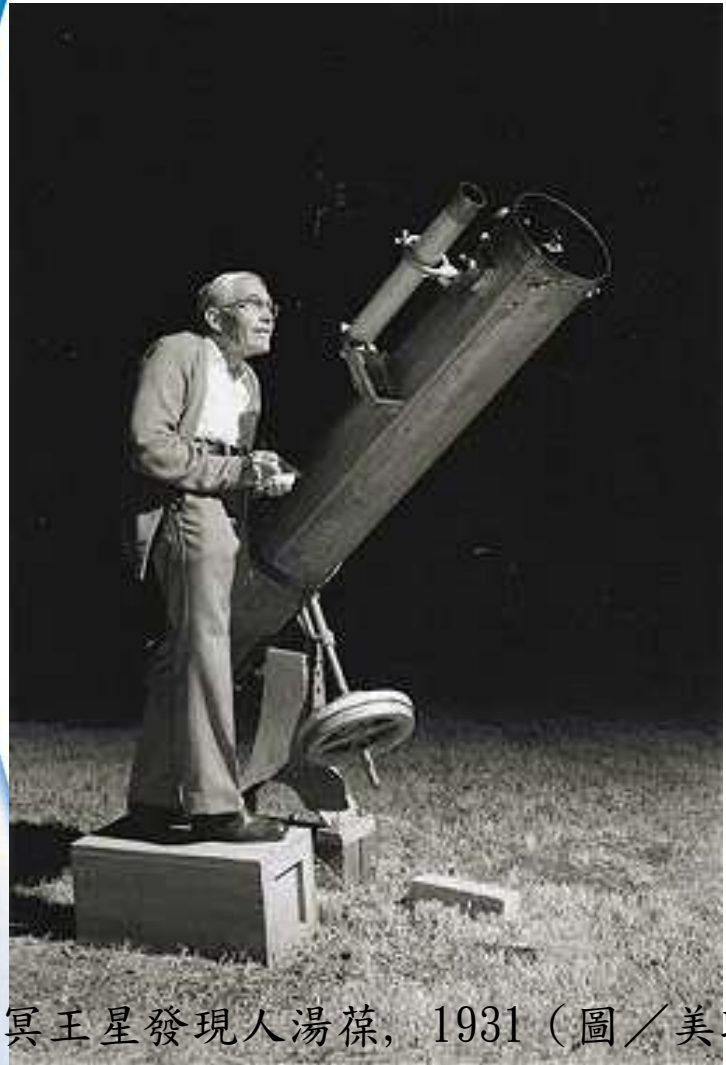
Bode Law convenient to remember

地球和太陽的距離稱為一個天文單位，約為1億5千萬公里，光速約需500秒。

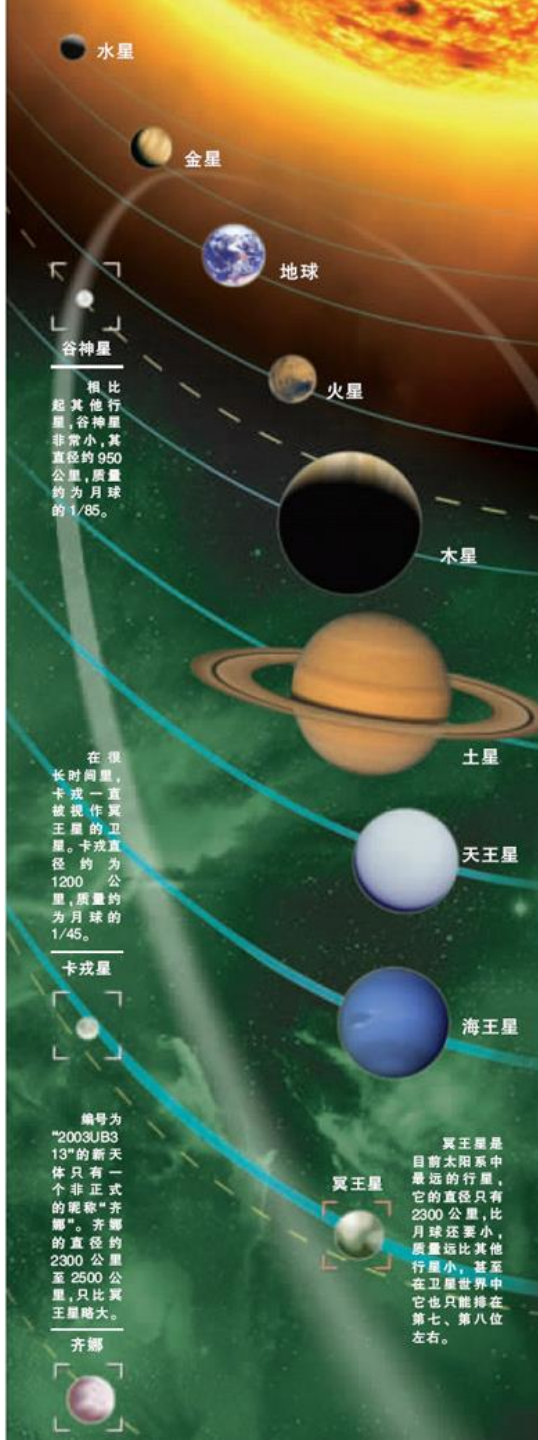
太陽到各行星的距離 = $0.4 + 0.3 * ()$

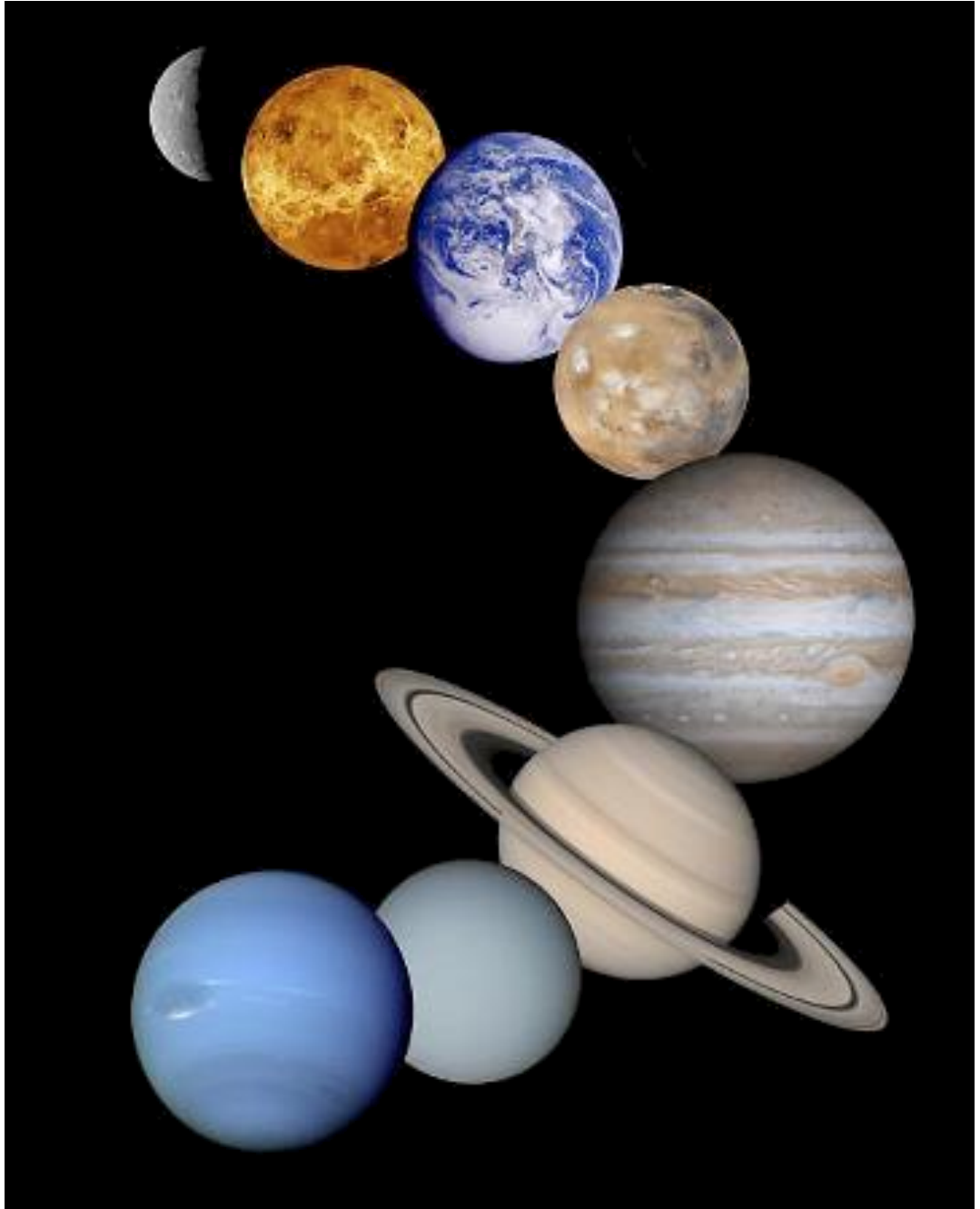
(): 0, 1, 2, 4, 8, 16, 32, 64, 128, 256

	水星	金星	地球	火星	小行星	木星	土星	天王星	海王星	冥王星
()	0	1	2	4	8	16	32	64	128	256
計算	0.4	0.7	1.0	1.6	2.8	5.2	10.0	19.6	38.8	
實際	0.387	0.723	1	1.524	2.65	5.2	9.54	19.1	30.0	39.3



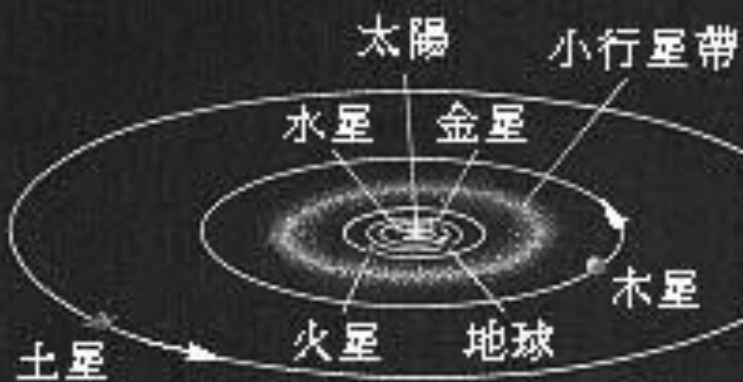
冥王星發現人湯葆，1931（圖／美聯社）





八大行星分別為水星、金星、地球、火星、木星、土星、天王星、海王星。

太陽系



冥王星

天王星

海王星

大氣層



磁層

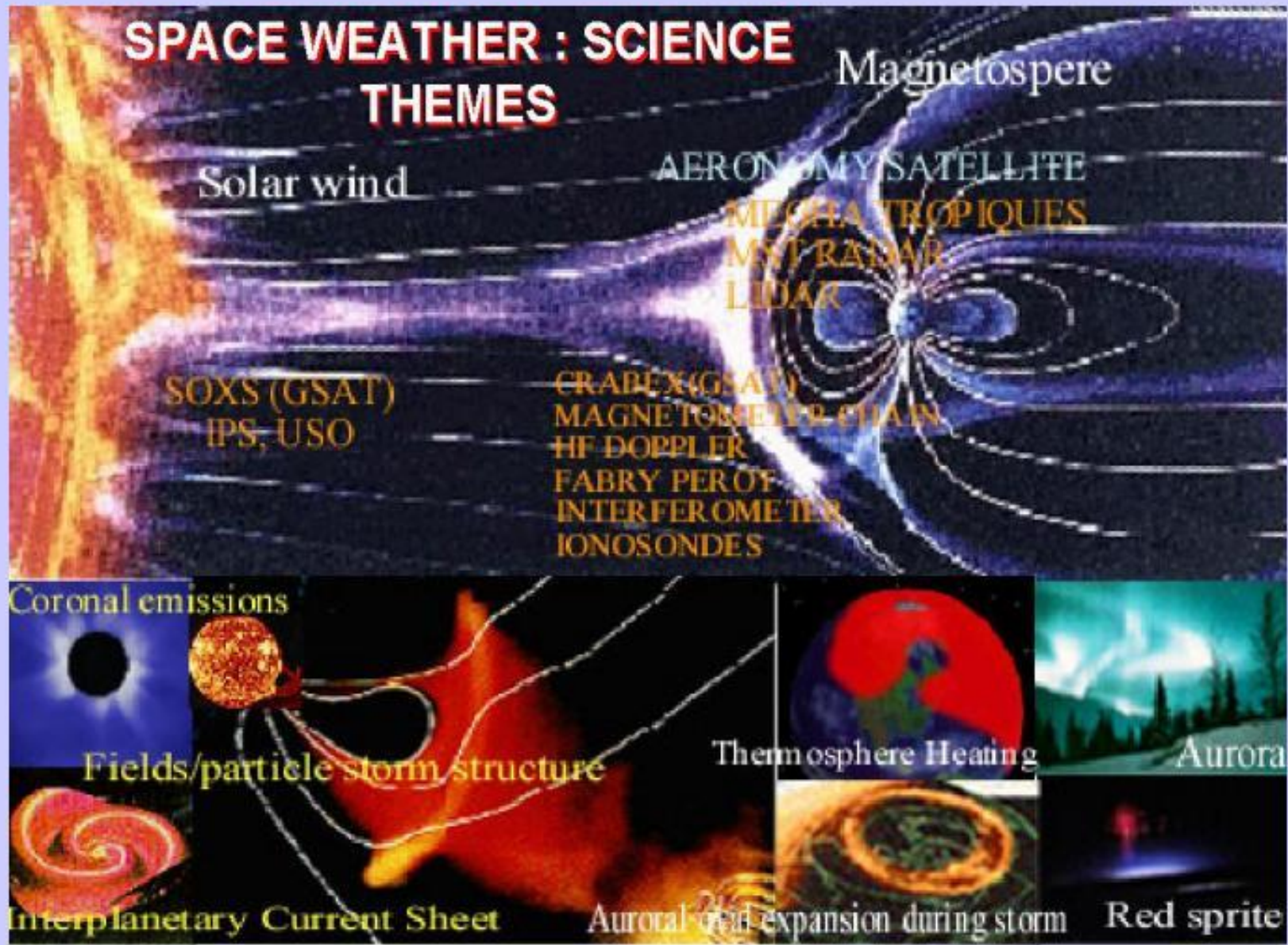


地球
木星
海王星

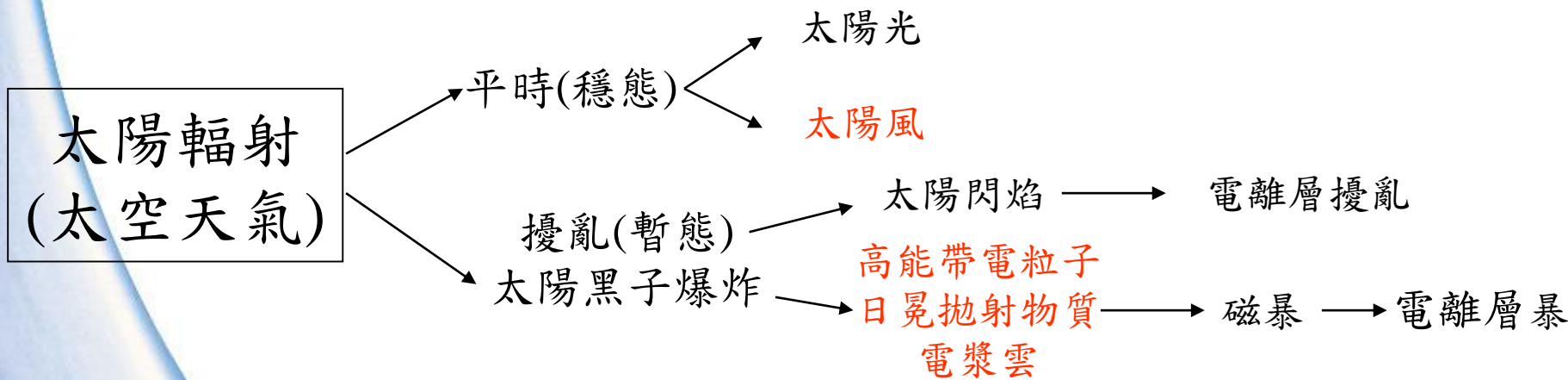
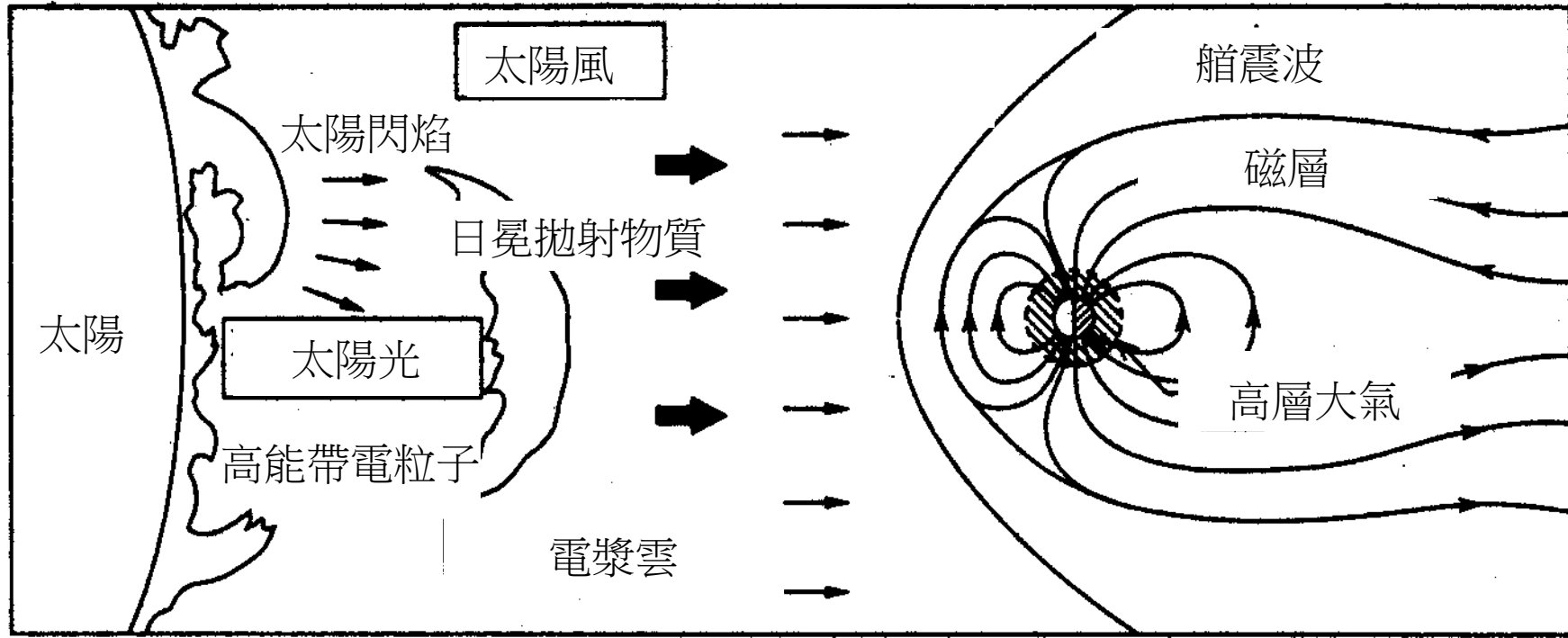
水星
天王星
土星

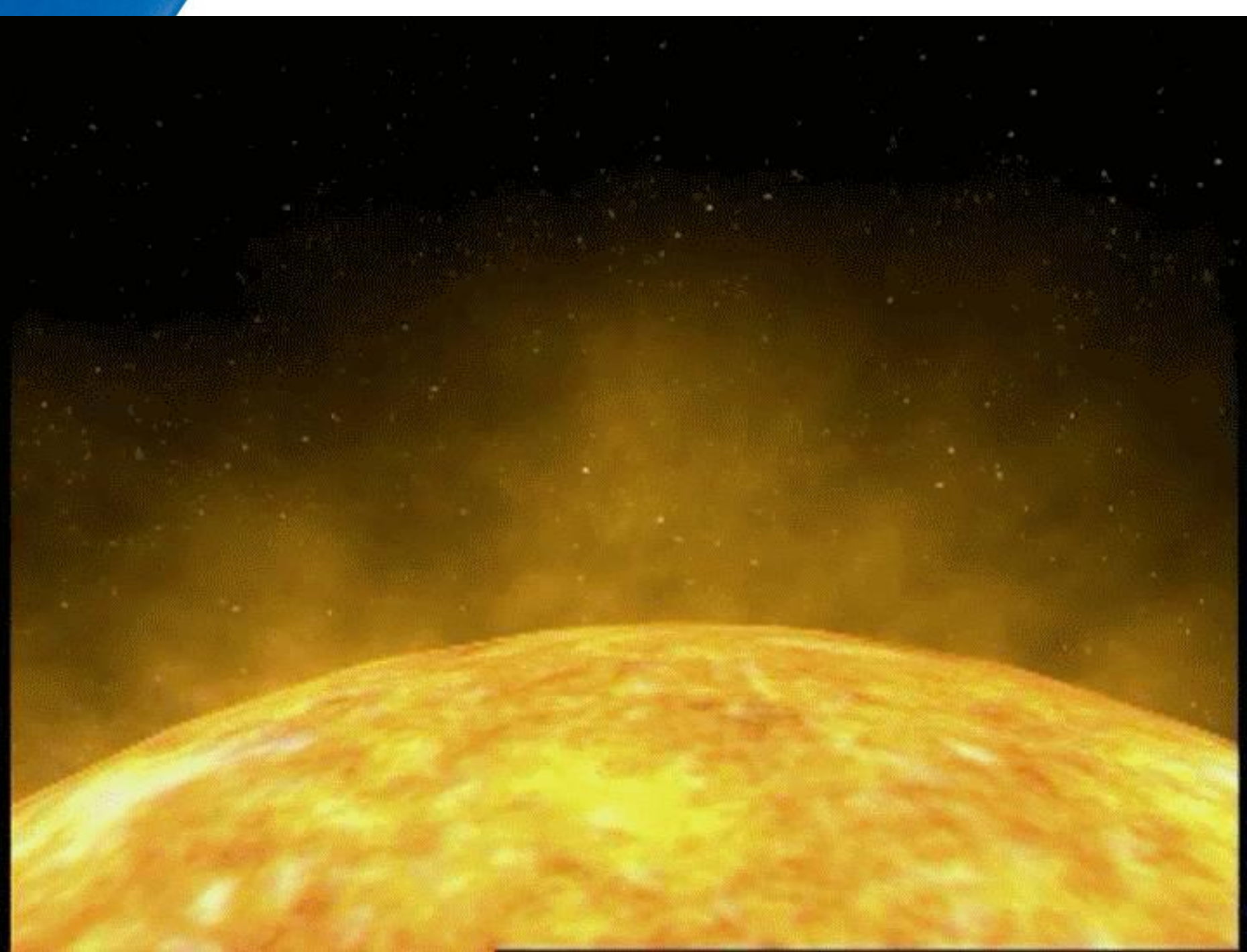
金星
火星

Space Weather



太陽風暴

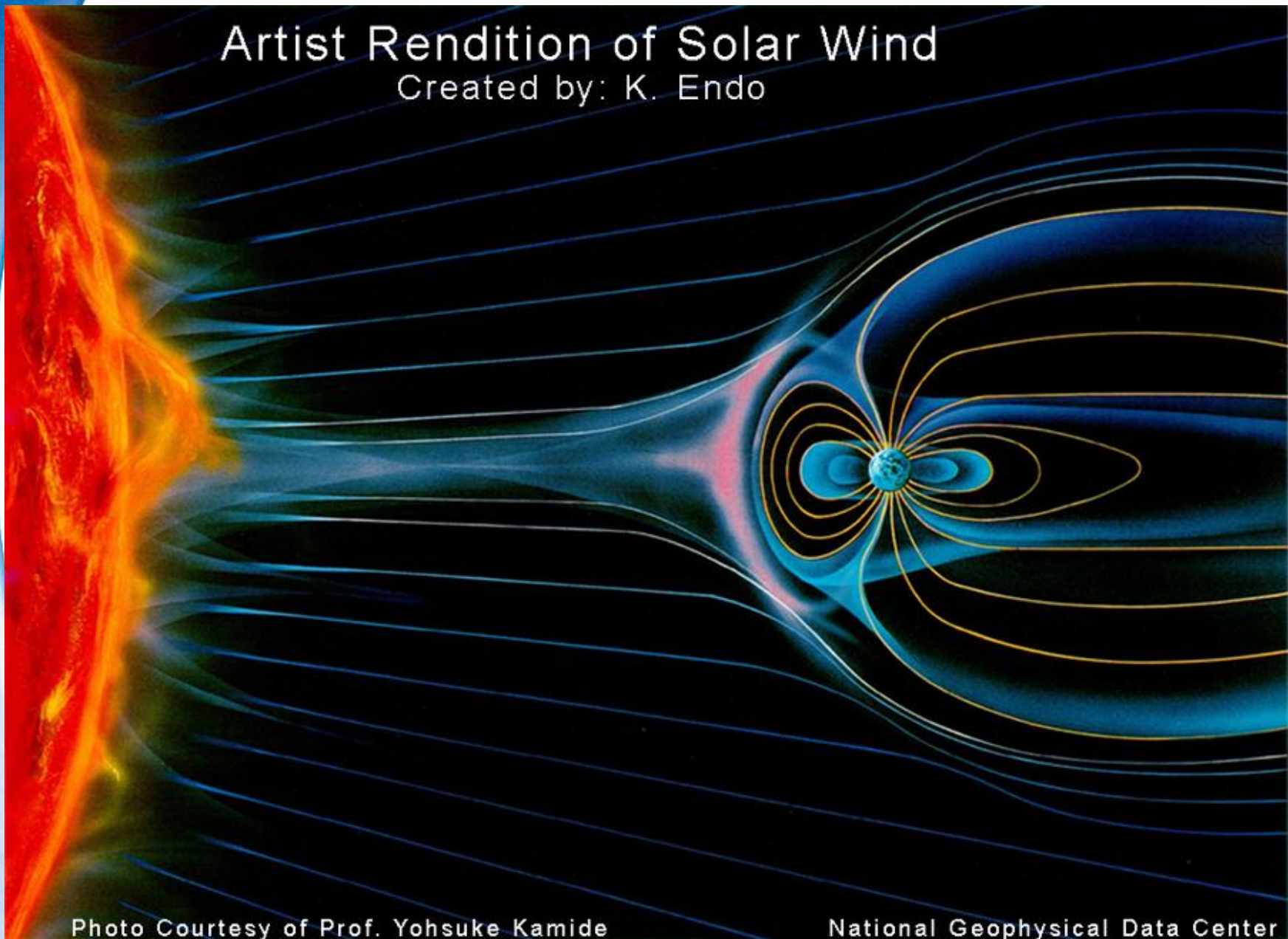




日地環境

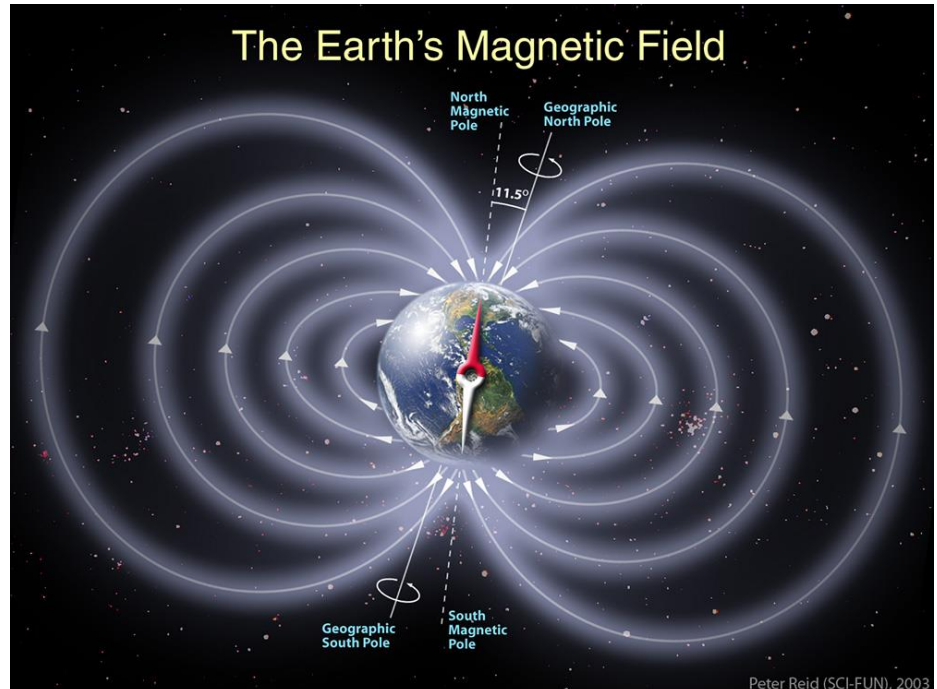
Artist Rendition of Solar Wind

Created by: K. Endo

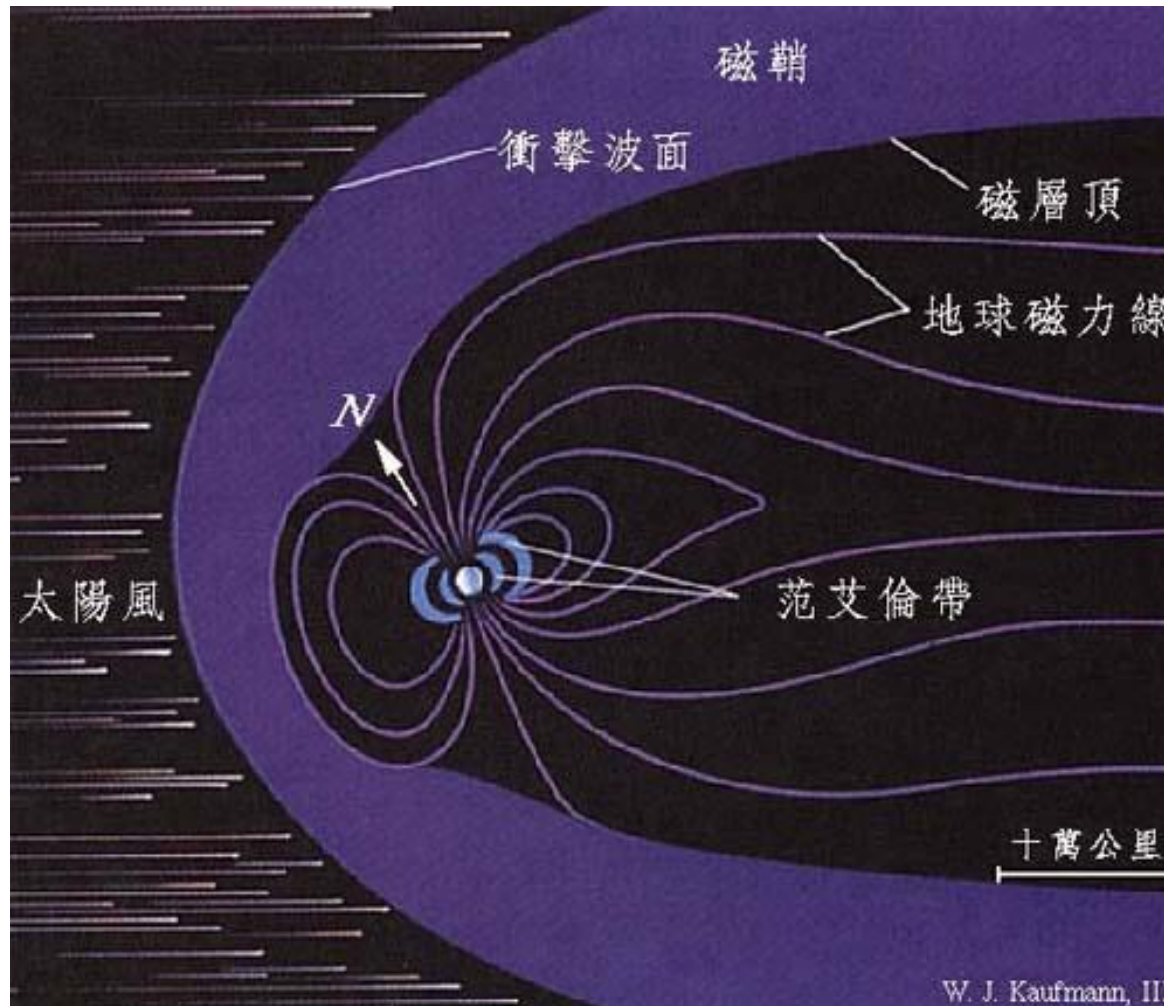


地球四大守護神

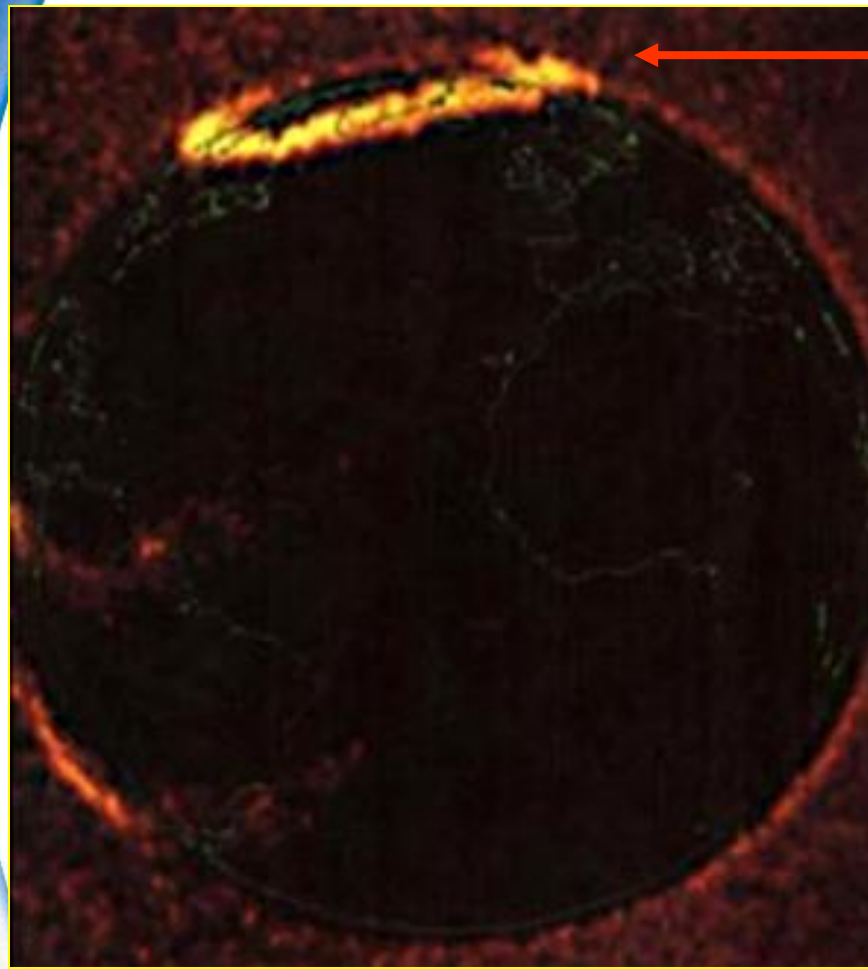
- 磁層:阻擋太陽風粒子
- 電離層:阻隔太陽XEUV光輻射
- 大氣層:阻擋隕石
- 臭氧層:阻隔太陽UV光輻射



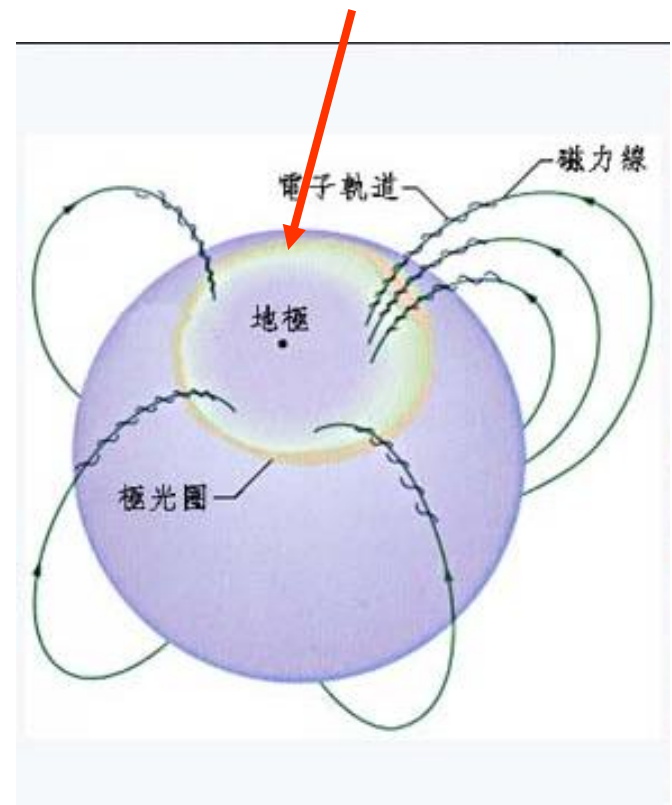
地磁盾：磁層



由於電磁力的作用，地球的磁場在太陽風中的帶電高能粒子的吹襲之下，產生了 磁層(magnetosphere) 。



極光





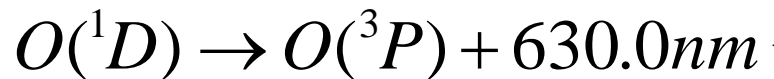
磁力線

能



630.0 and 557.7 nm Emissions

Dissociative recombination



FORMOSAT-2

Intensity, $I \propto [O^+]$

777.4 nm Emission

Radiative recombination

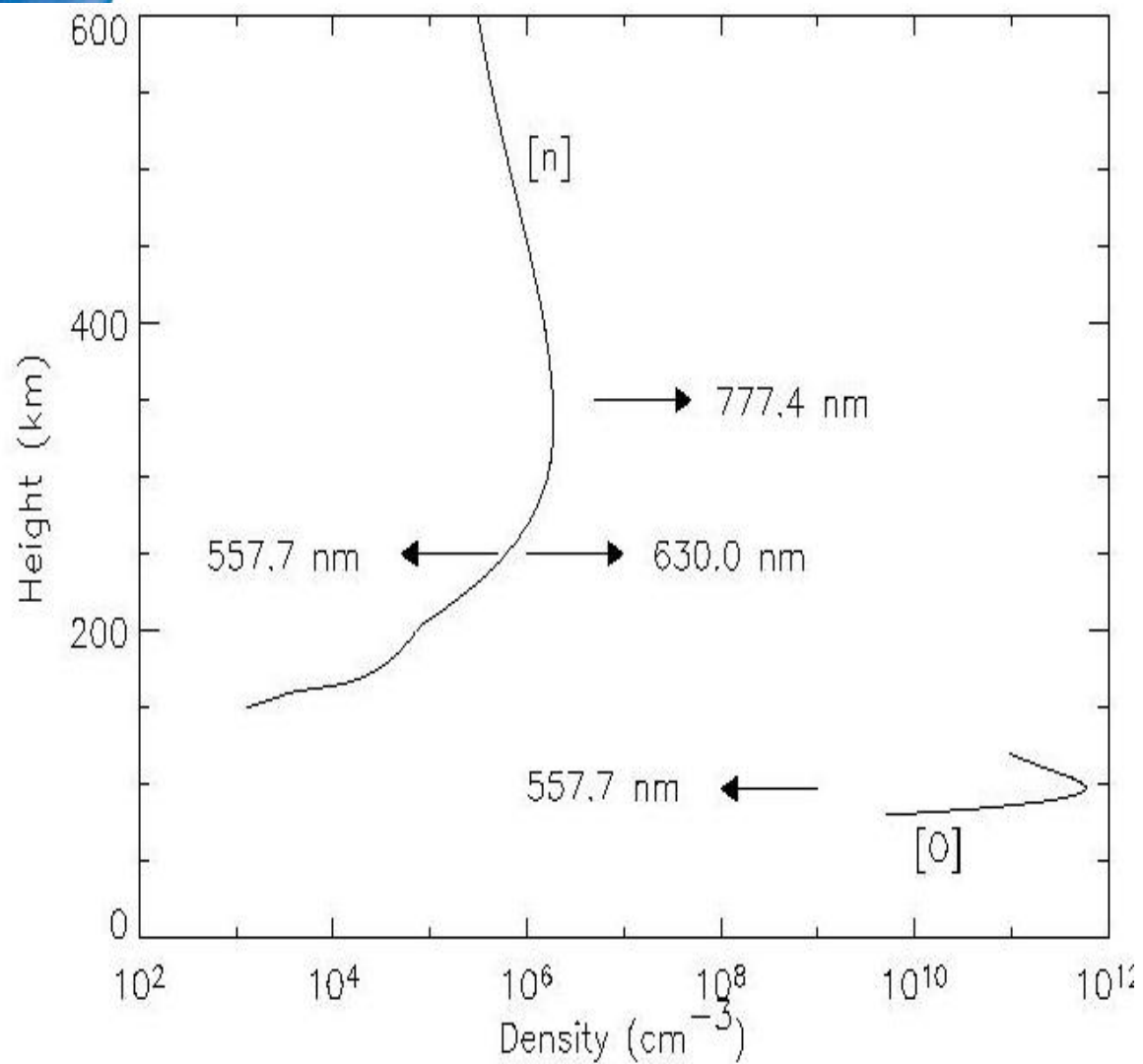


Intensity, $I \propto [O^+][e]$

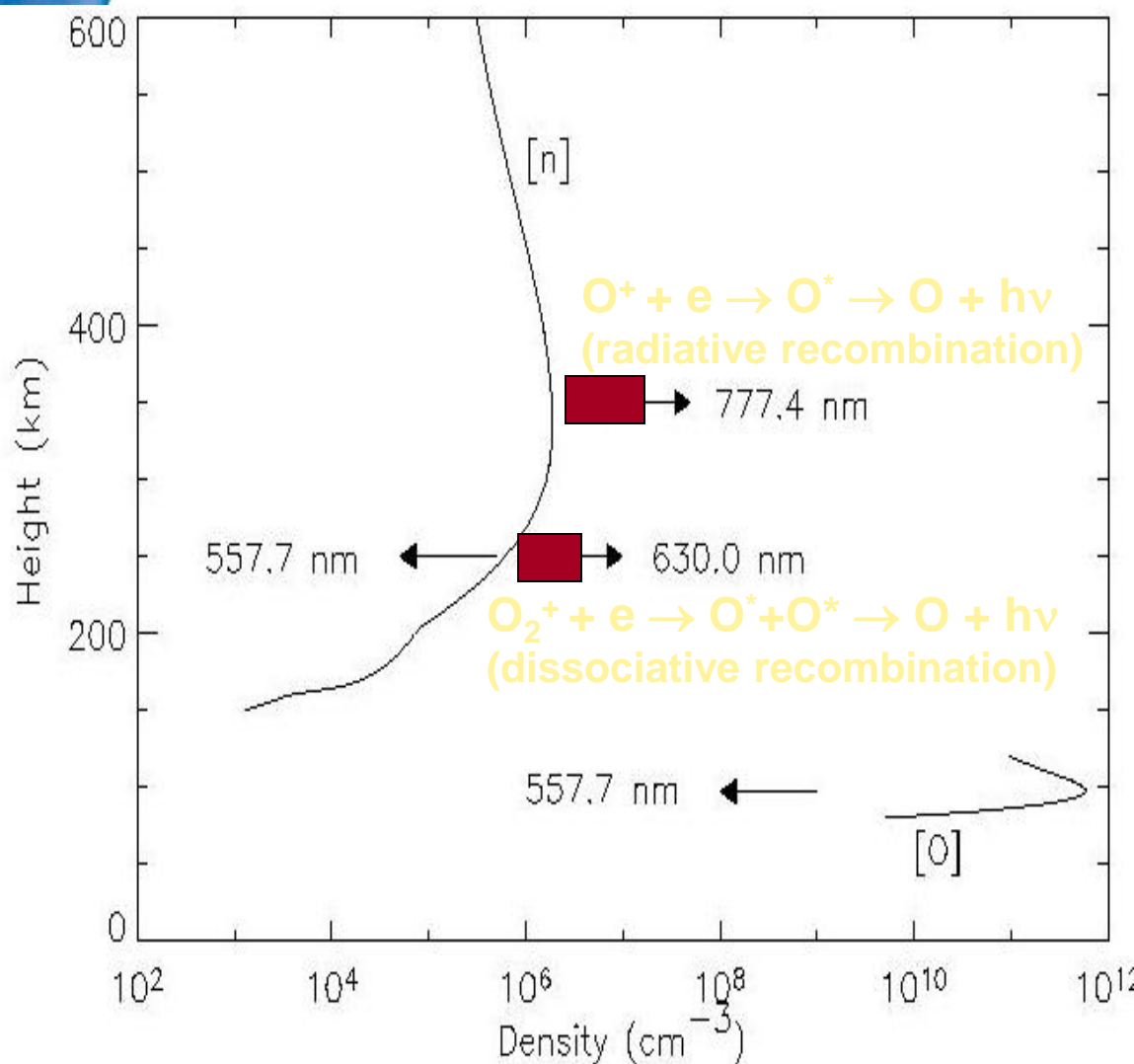
In the F-region, $[O^+] \approx [e]$; and $I \propto [e]^2$

$O(^5S) \rightarrow O(^3P) + 135.6\text{nm} \rightarrow$ used in FORMOSAT 3 (TIP)

Depletions in 557.7 nm



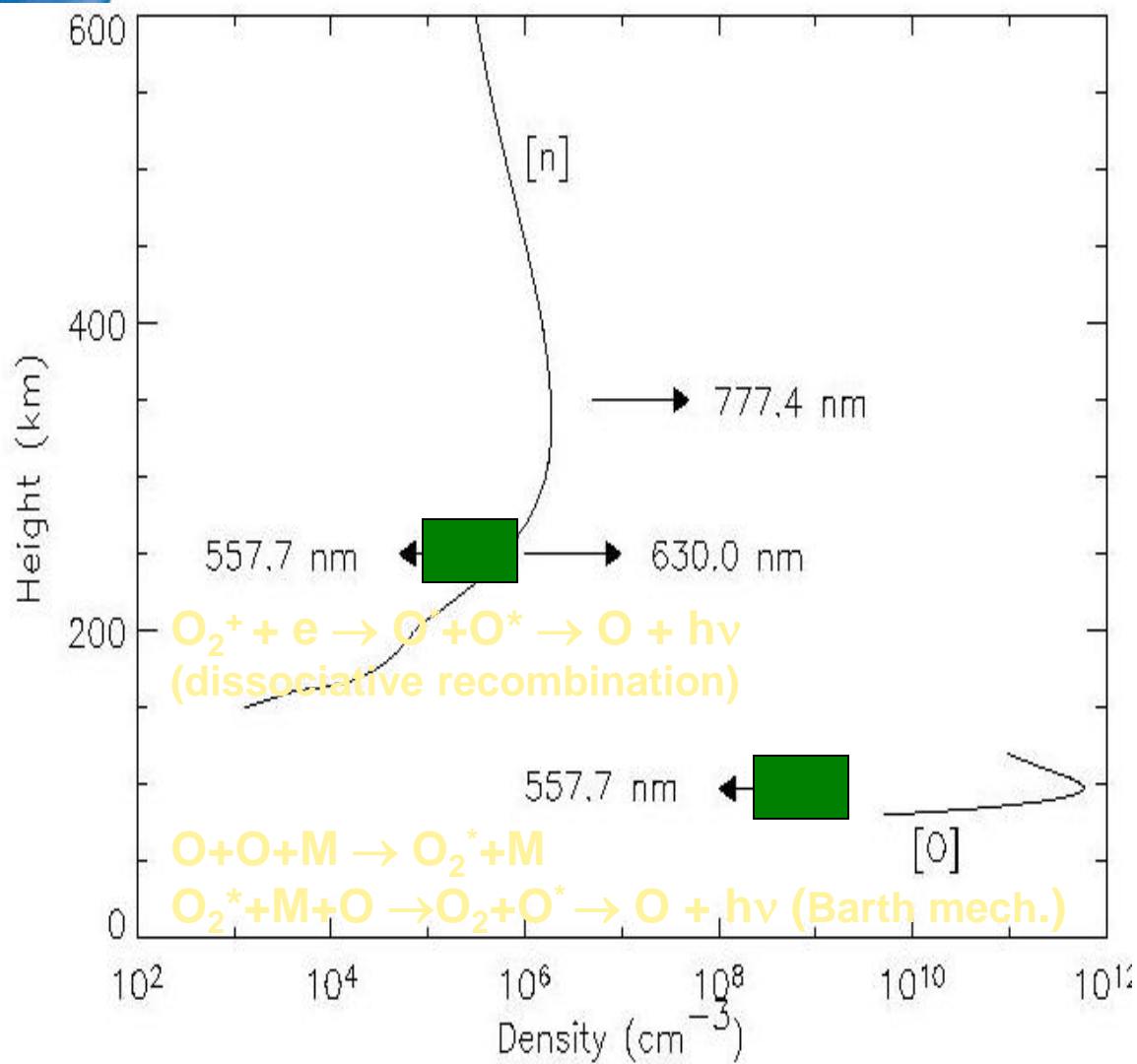
630.0 and 777.4 nm Emissions



The 630.0 and 777.4 nm emissions come from thermospheric region.

If plasma depletions are present at their altitude of bulk emission they can be readily seen in the images.

The 557.7 nm Emission



The 557.7 nm emission has two source regions; in the thermosphere, and in the mesosphere.



一共有幾種顏色呢？



極光的顏色

- 粉紅色—氫原子 ($H, 1$)



- 白綠色—氧原子 ($O, 16$)



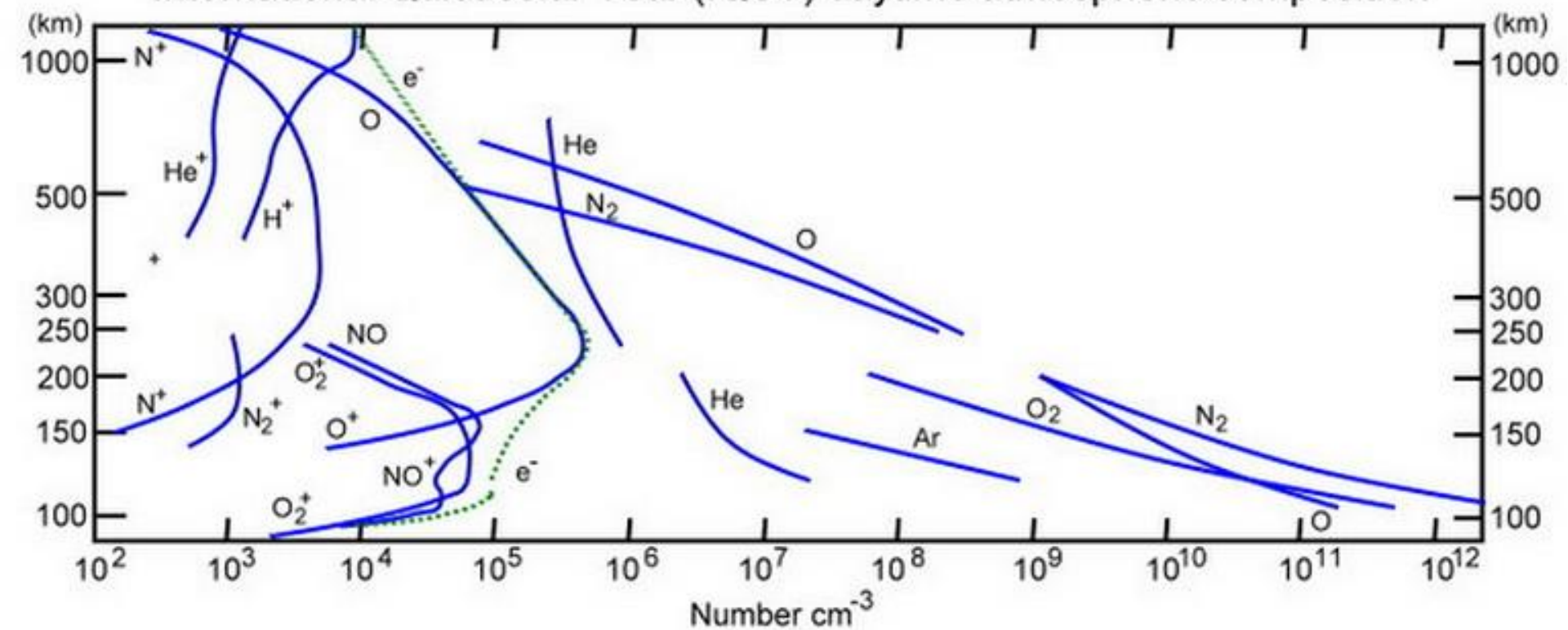
- 青藍色—氮分子 ($N_2, 28$)



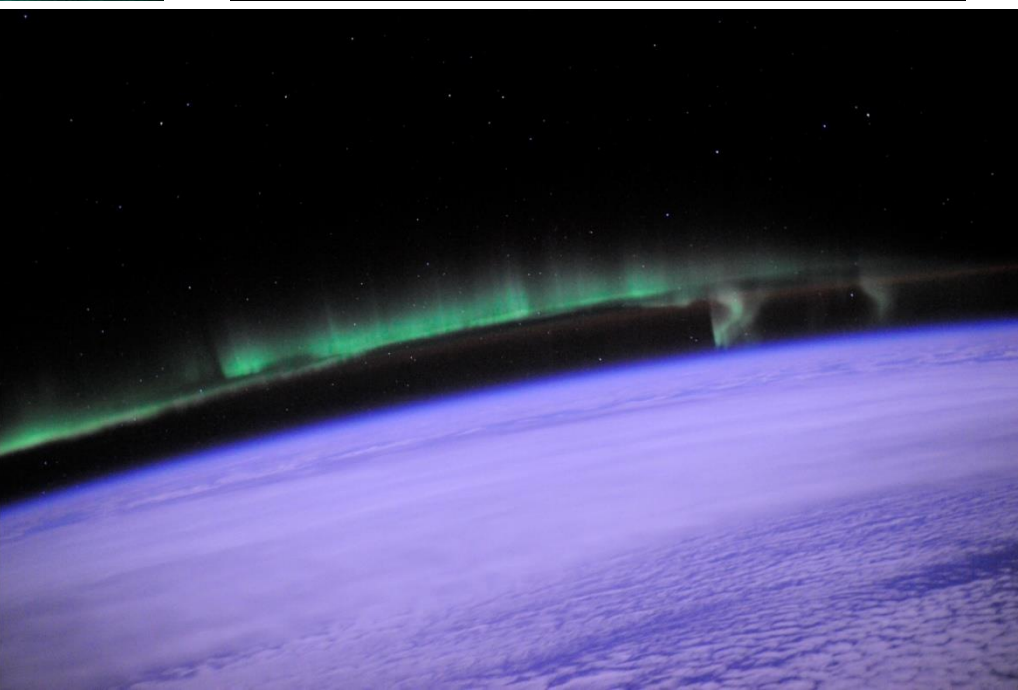
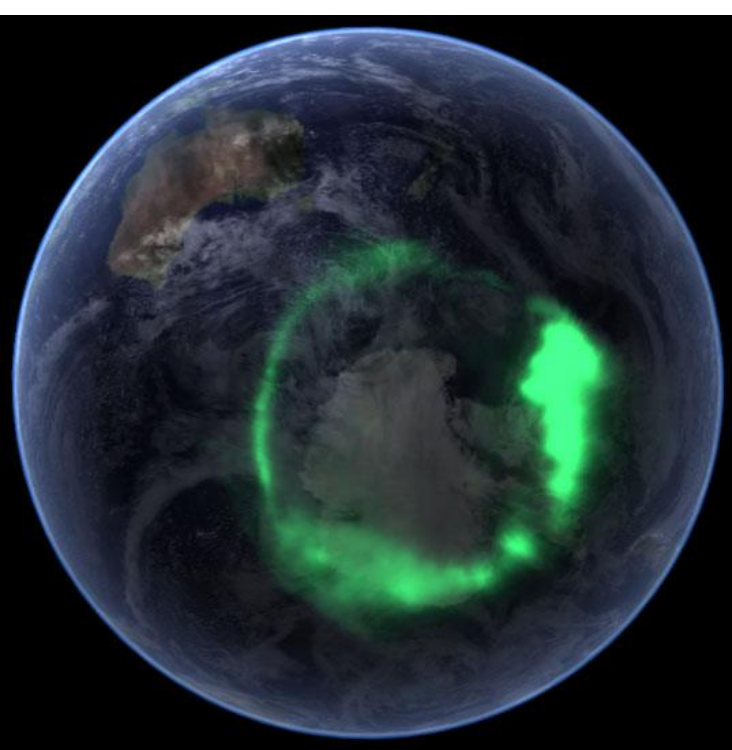
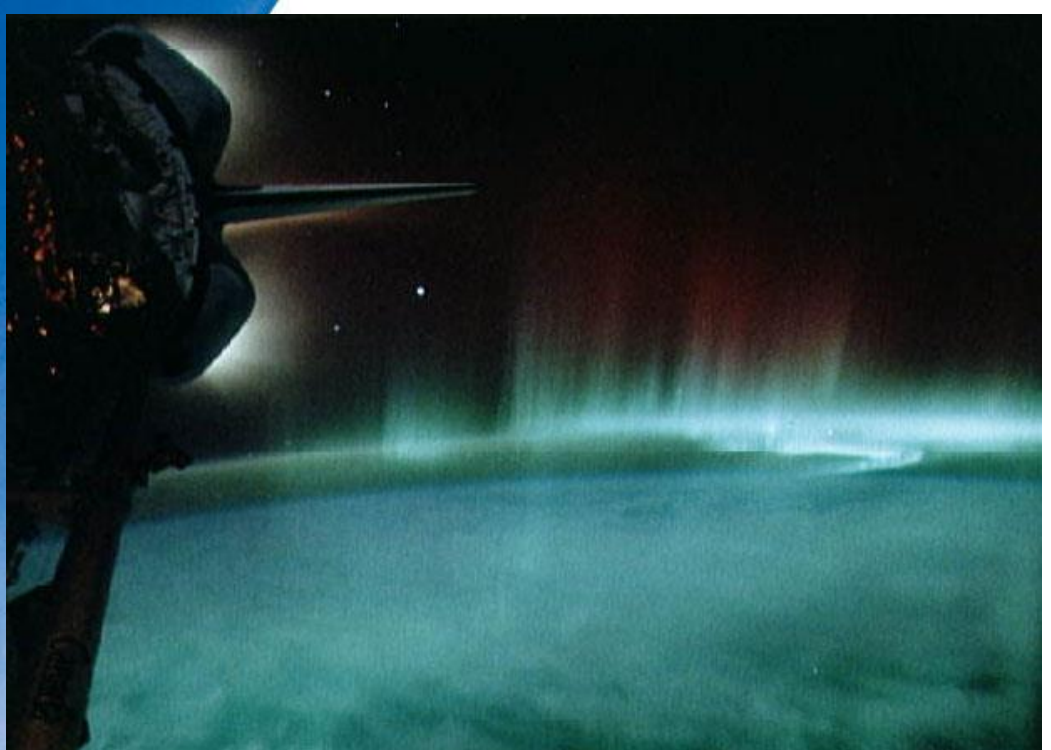
- 血紅色—氧分子 ($O_2, 32$)



International Quiet solar Year (IQSY) daytime atmospheric composition



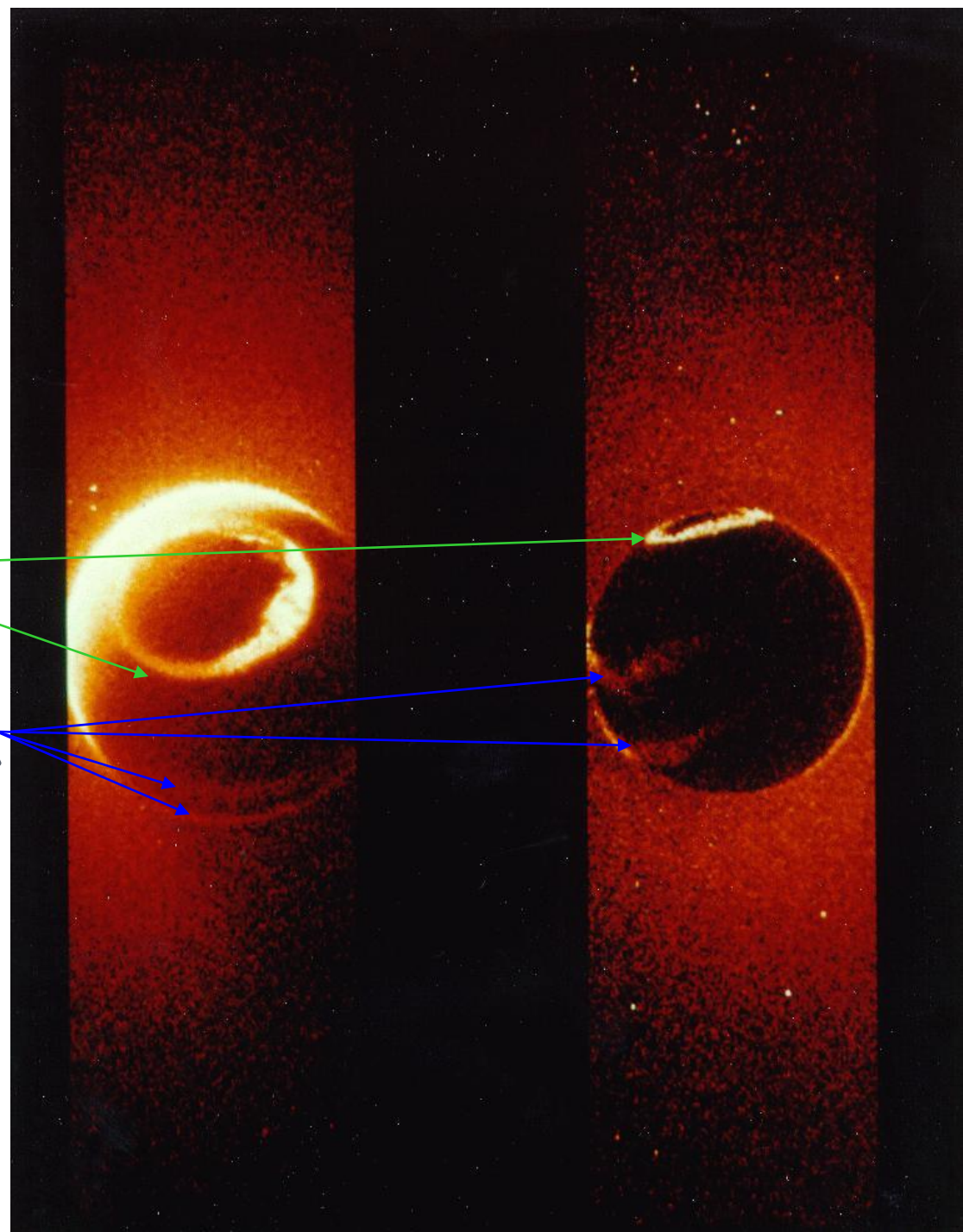




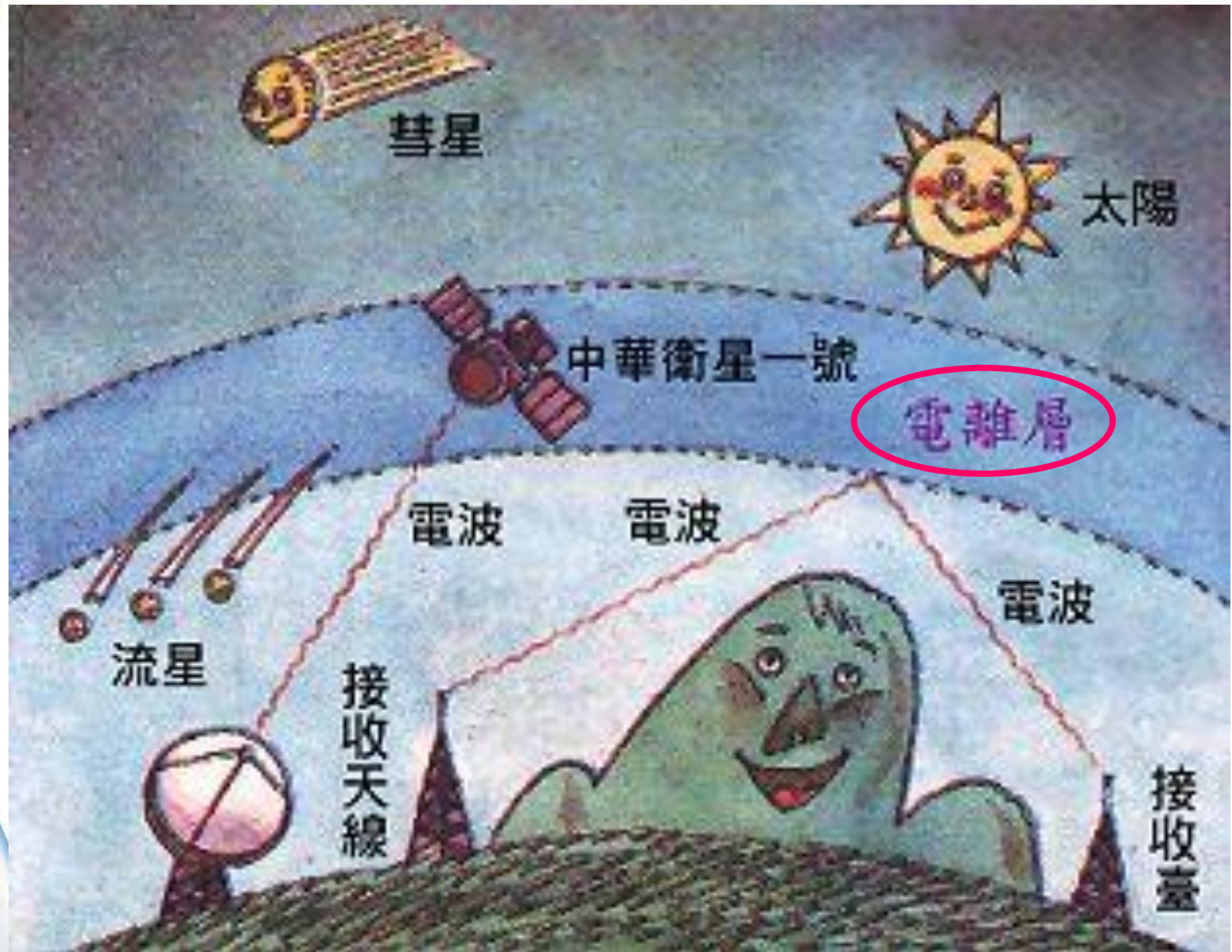
Aurora 極光

Airglow 大氣暉光

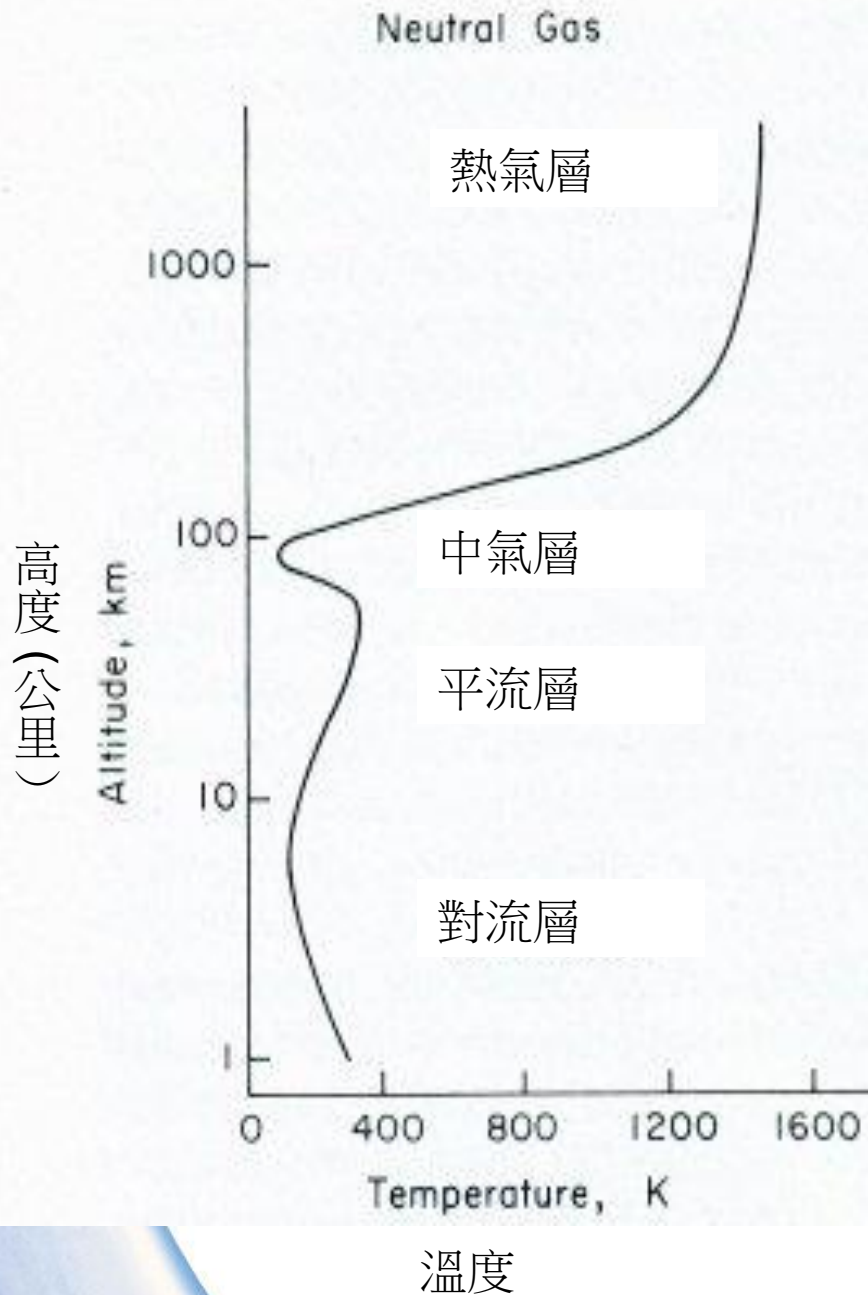
DE-1 satellite



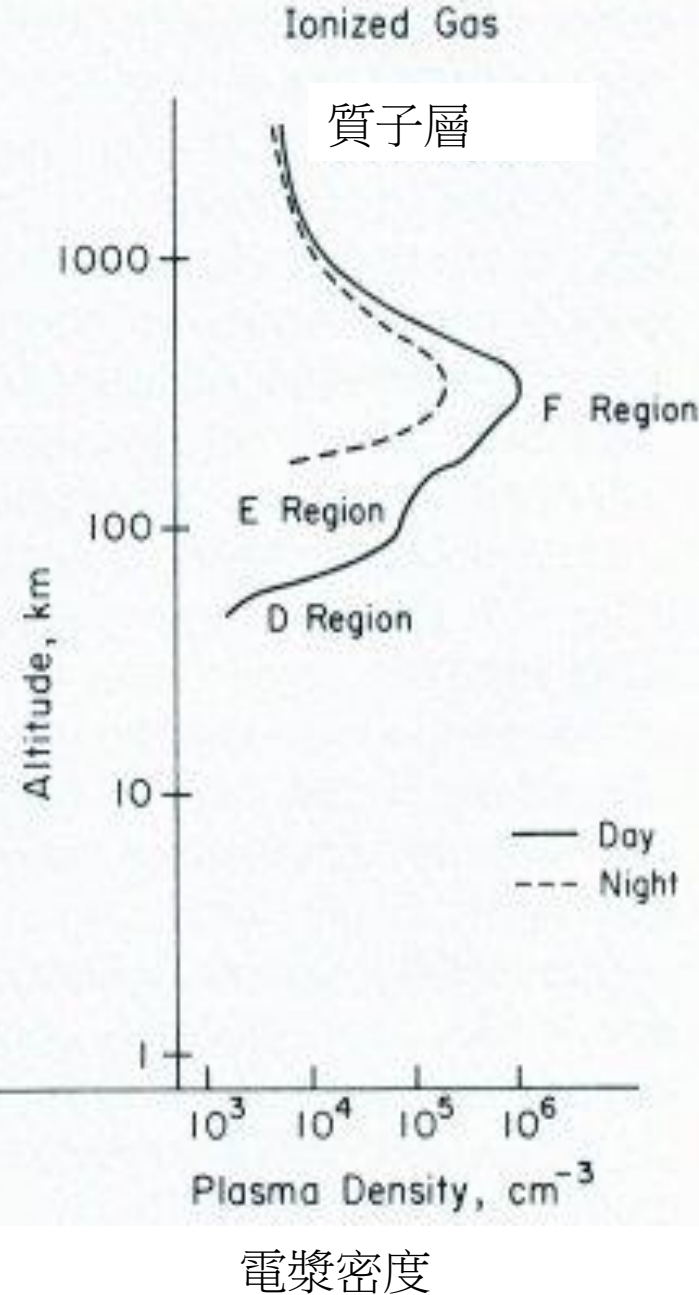
電離盾：電離層



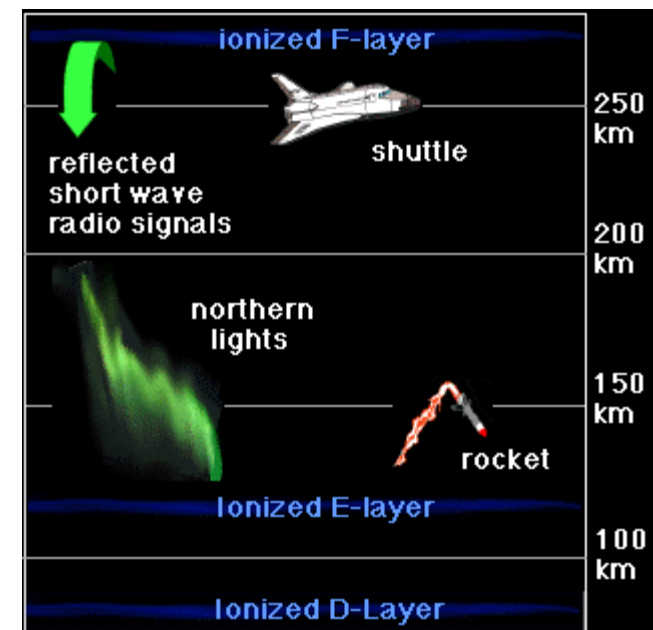
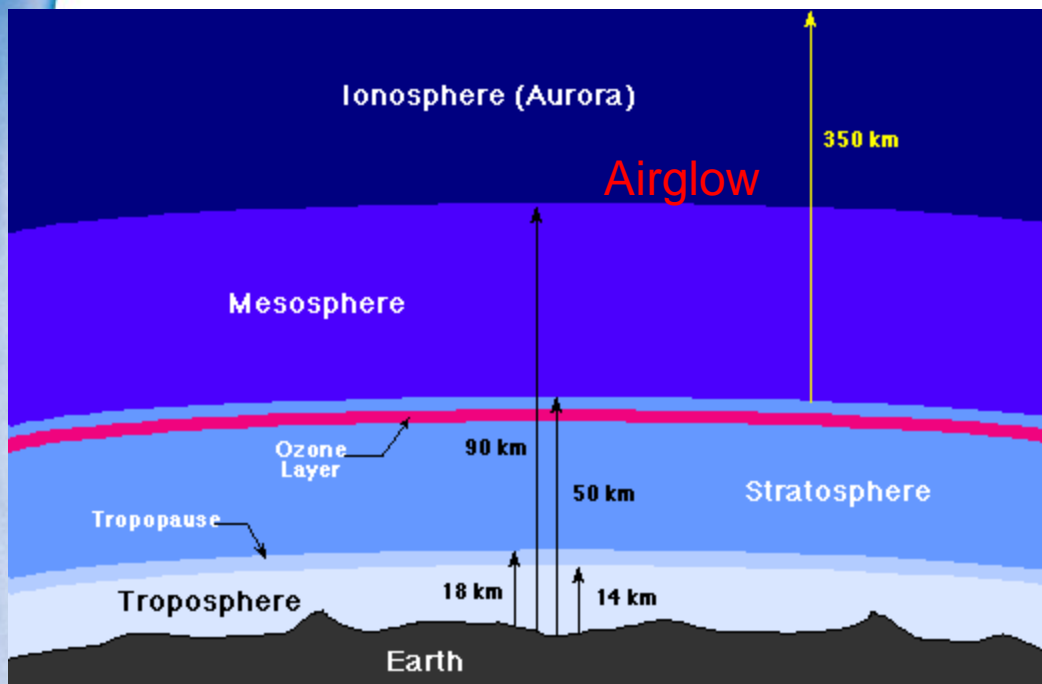
中性大氣層結構



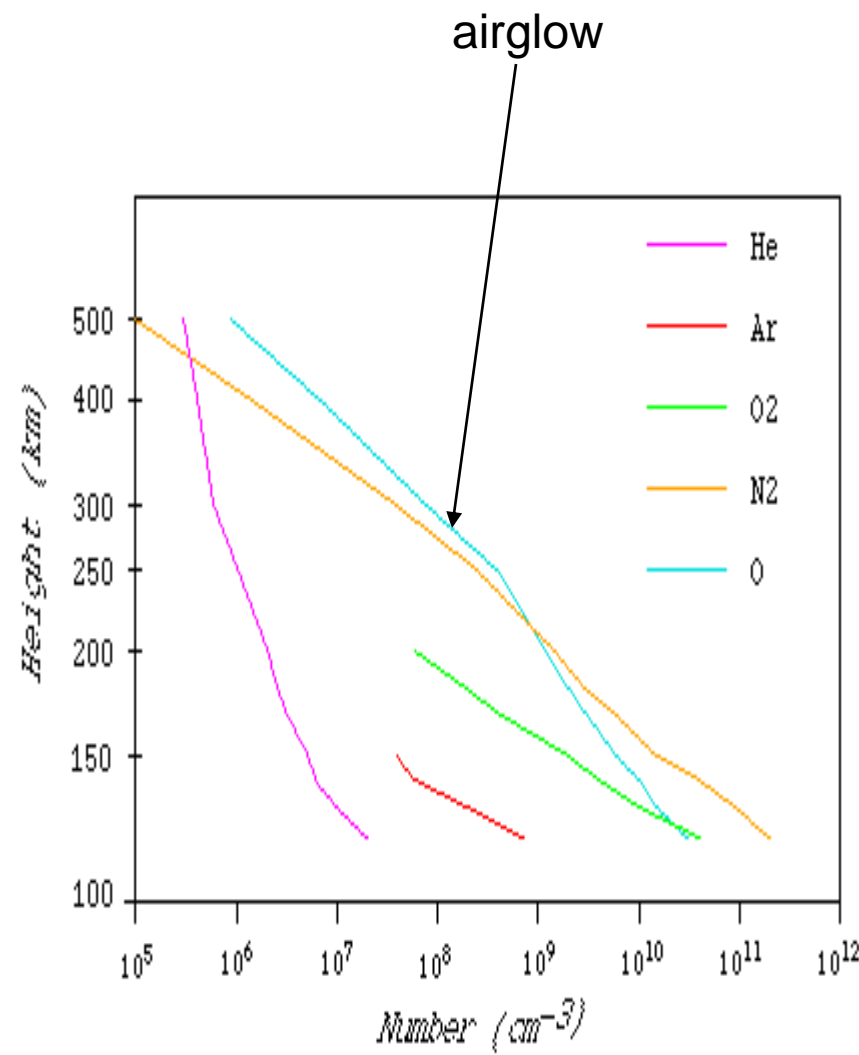
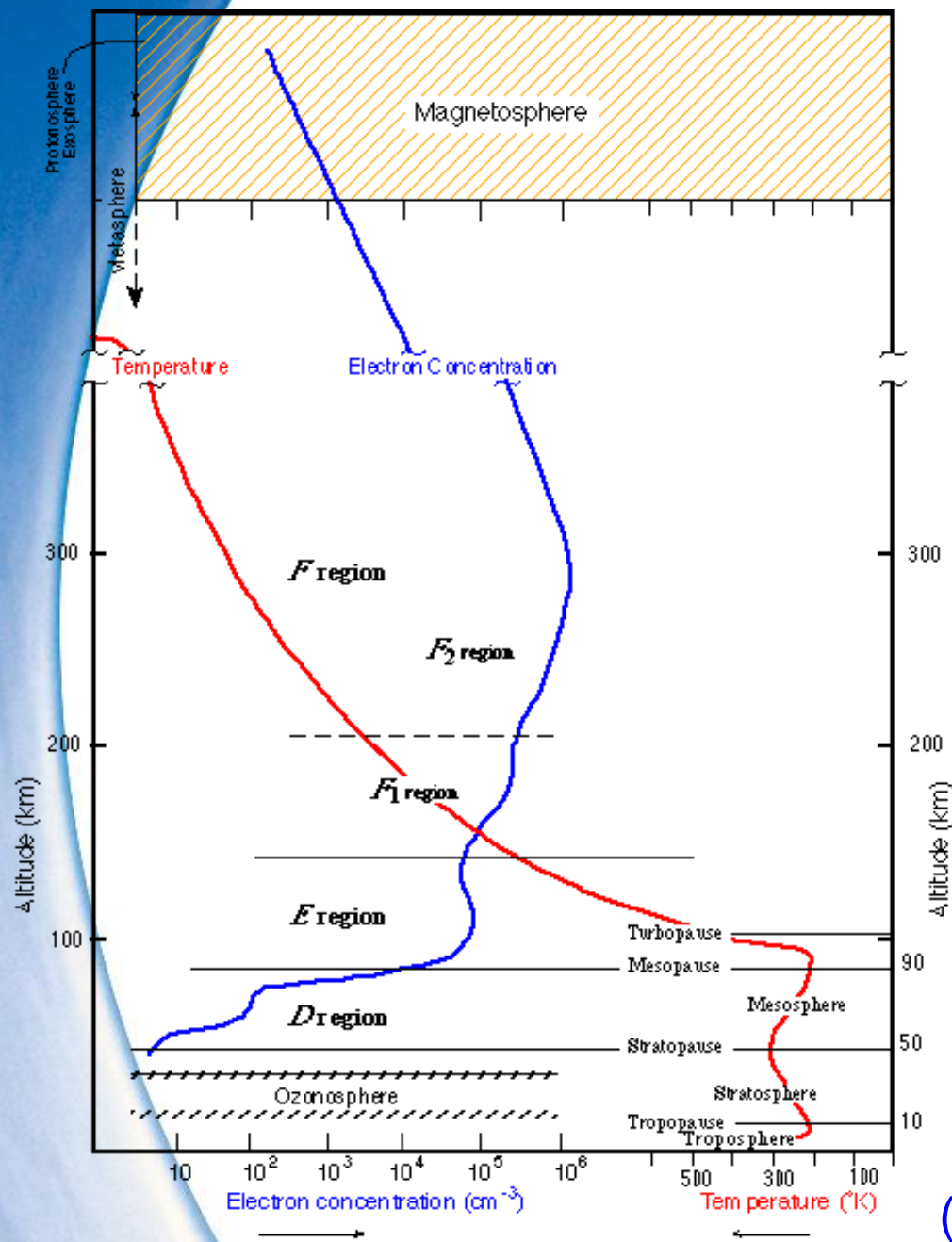
電離層結構



(<http://www.windows.ucar.edu>)

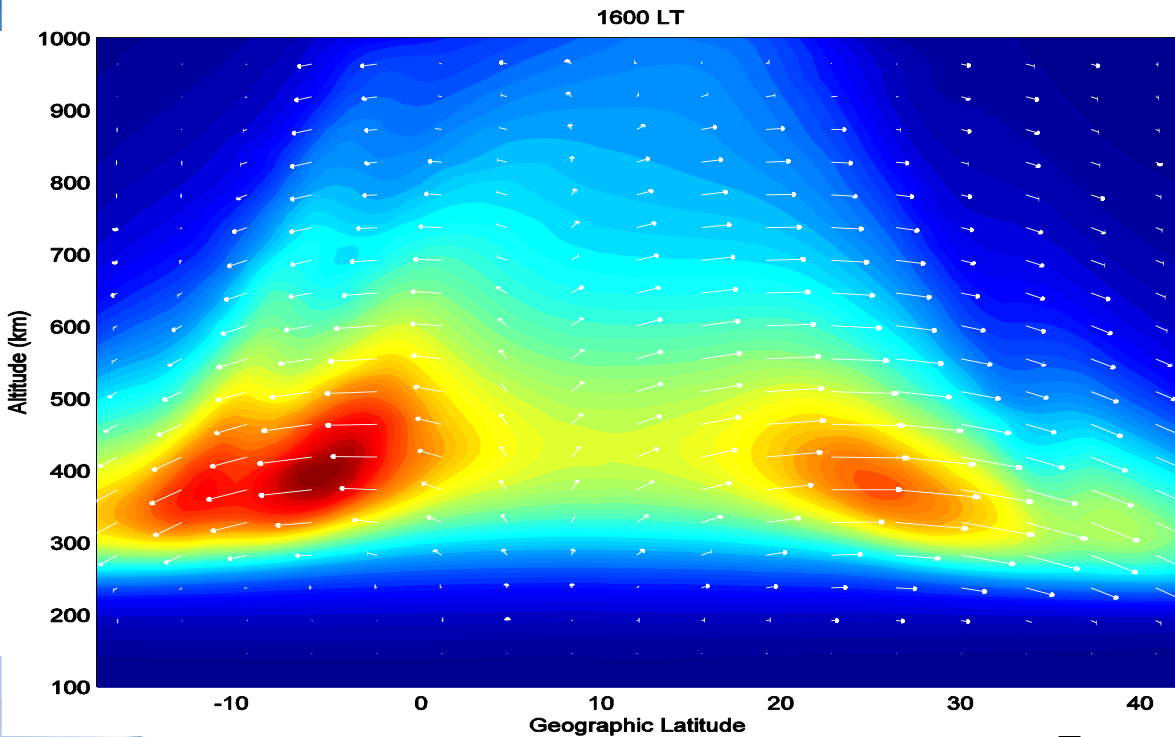


(<http://csep10.phys.utk.edu>)

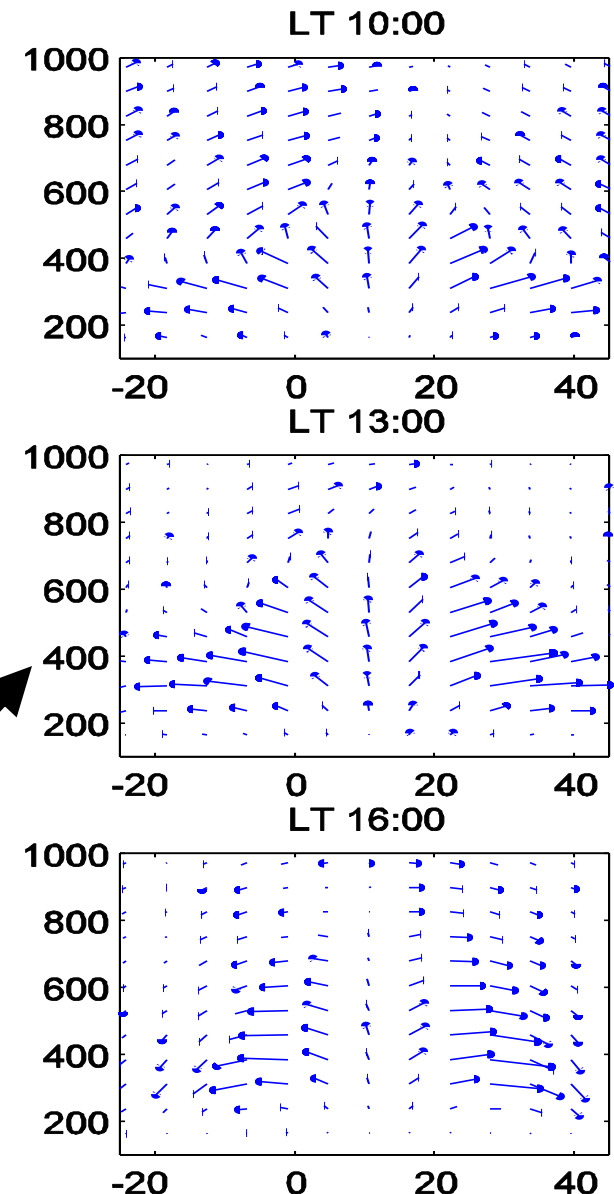


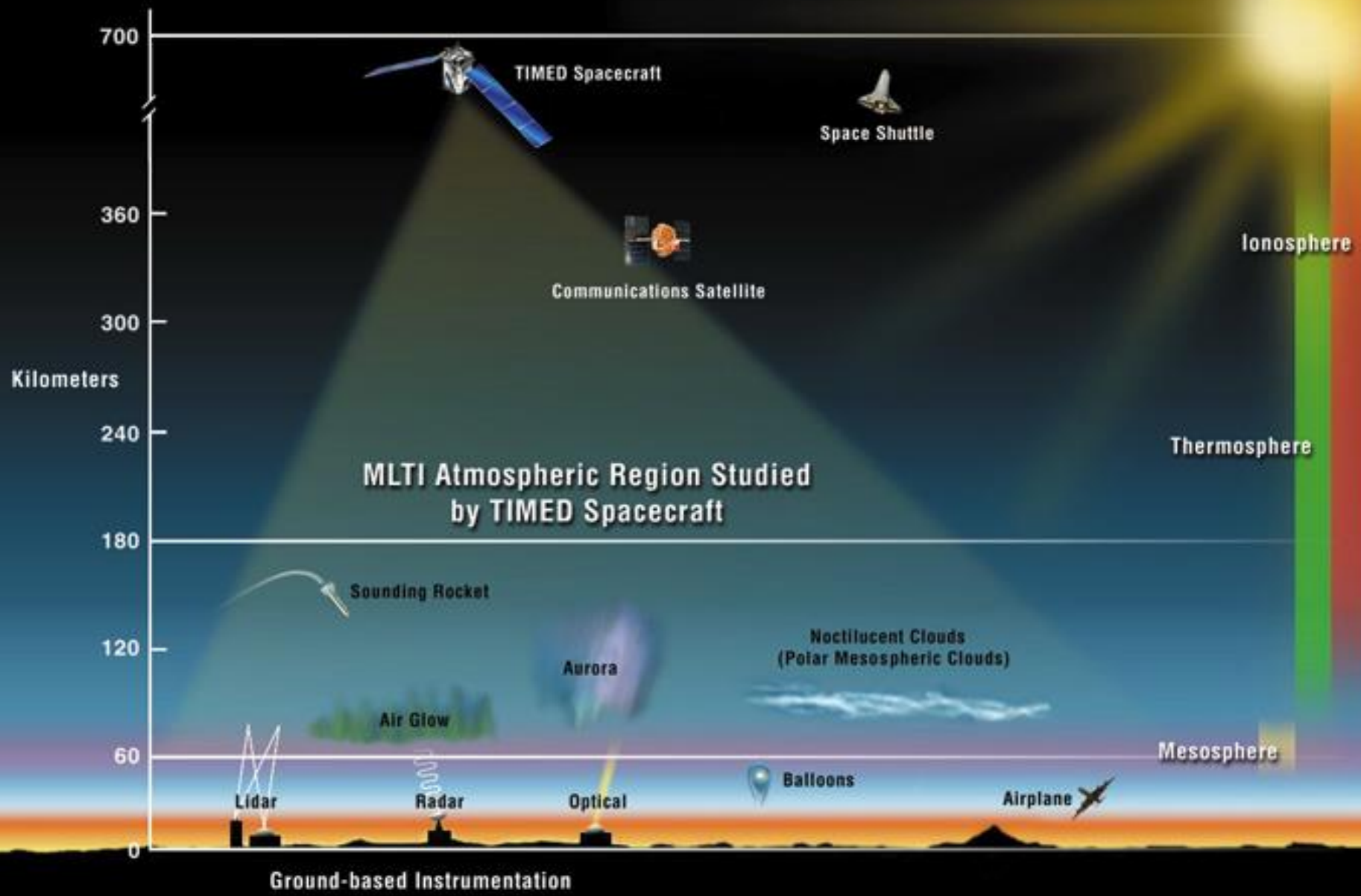
Equatorial plasma fountain

Low-Latitude Ionosphere is dominated by the electrodynamics



A model simulated plasma fountain effect starting in the morning and enhance to its maximum around noon

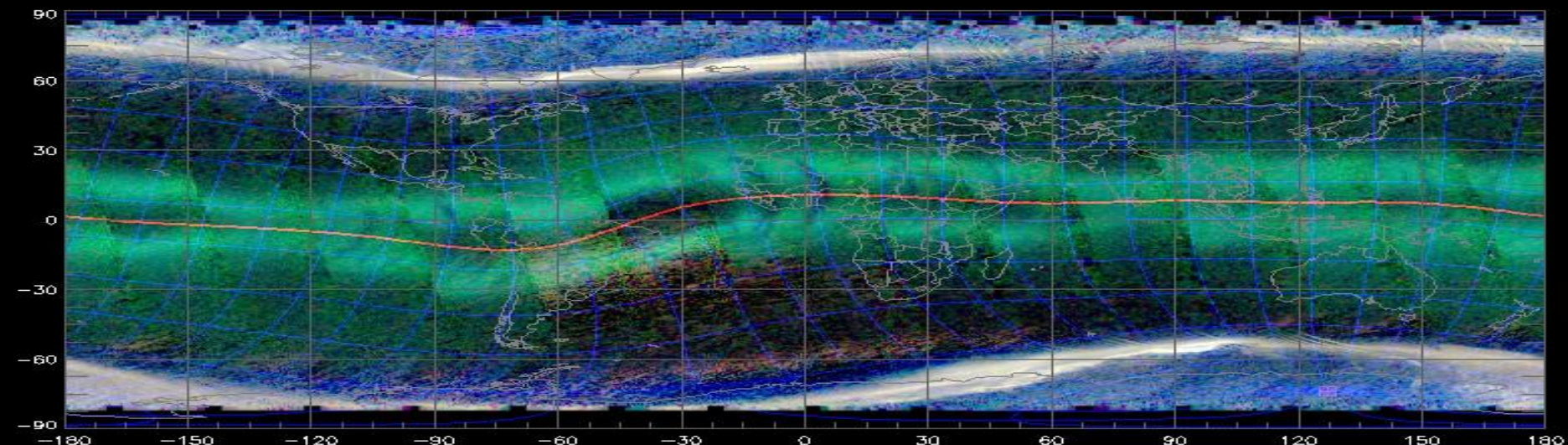




2002.269

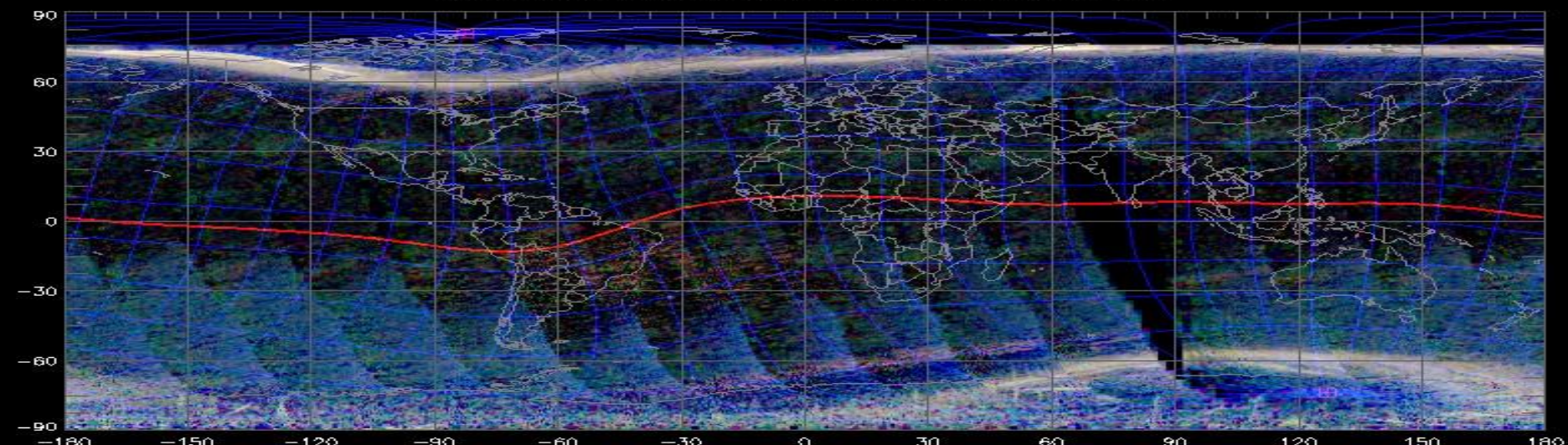
GUVI Composite Image (SZA > 95), 2002 Day 269, Orbits 4328–4342
OI 1304 (blue, 7670.44 R max (data), 10000.0 R max (color scale))
OI 1356 (green, 3422.86 R max (data), 1000.00 R max (color scale))
LBH short (red, 4123.35 R max (data), 1000.00 R max (color scale))

TIMED GUVI 135.6nm

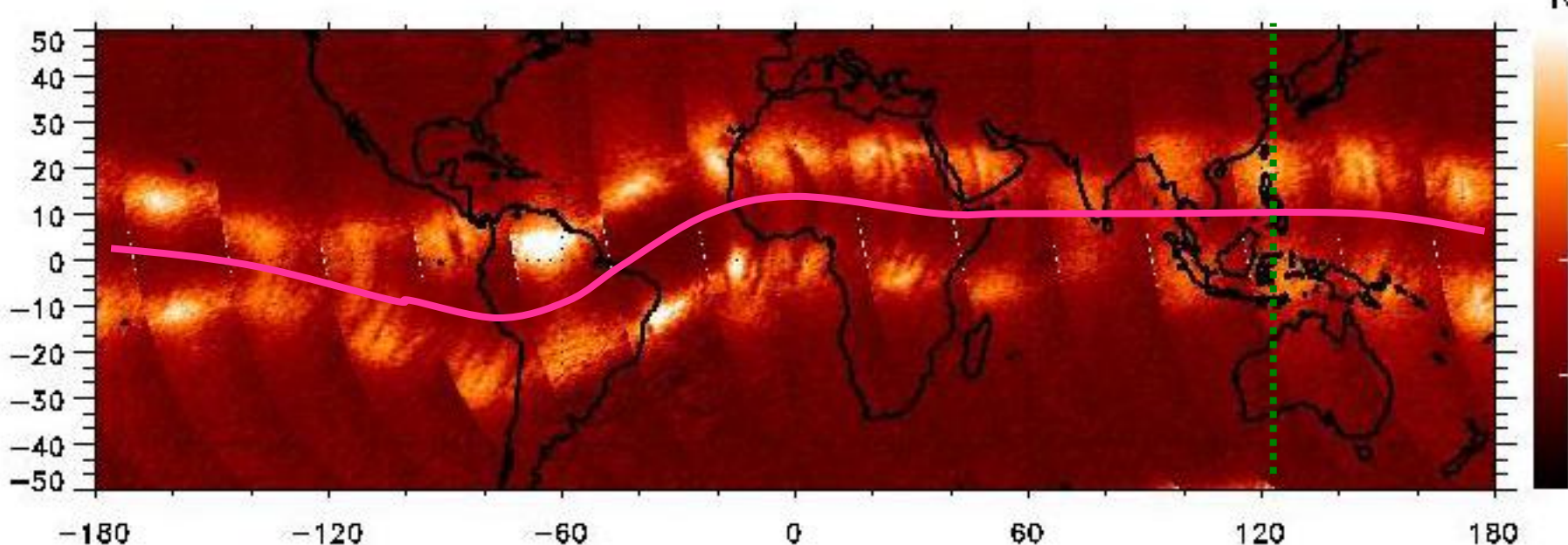


2006. 237

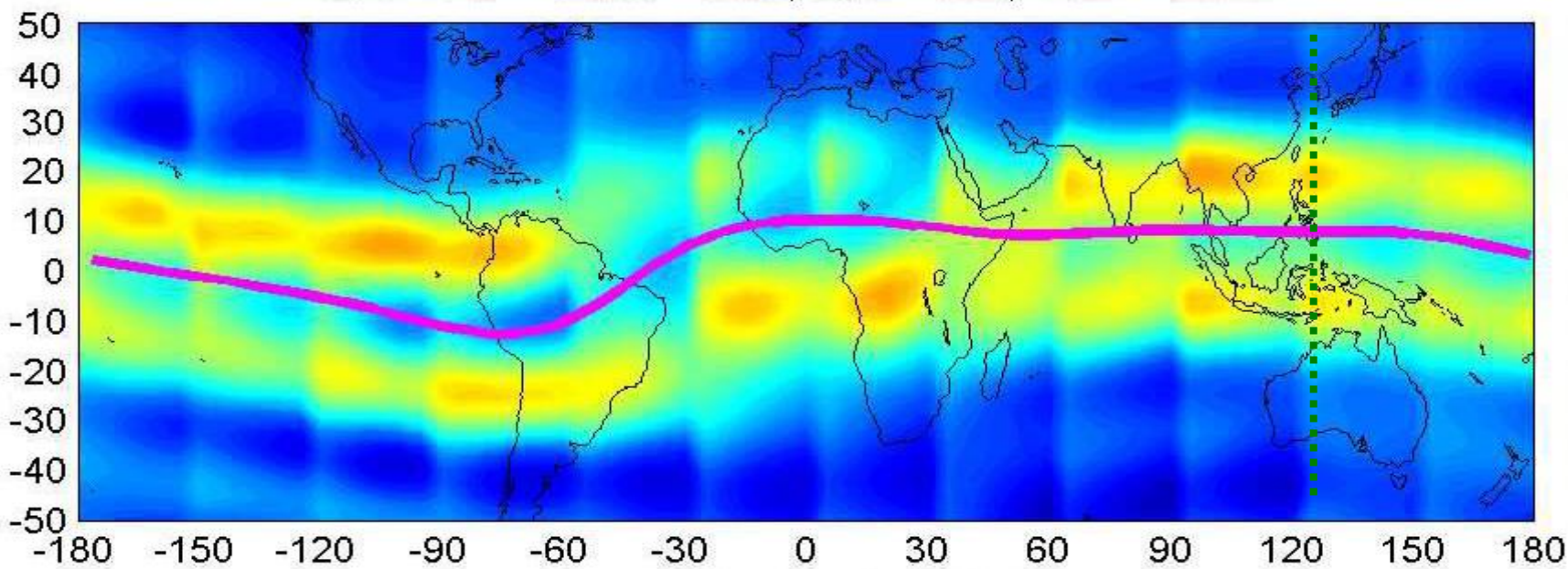
GUVI Composite Image (SZA > 95), 2006 Day 237, Orbits 25516–25529
OI 1304 (blue, 3942.57 R max (data), 10000.0 R max (color scale))
OI 1356 (green, 1438.01 R max (data), 1000.00 R max (color scale))
LBH short (red, 2034.71 R max (data), 1000.00 R max (color scale))



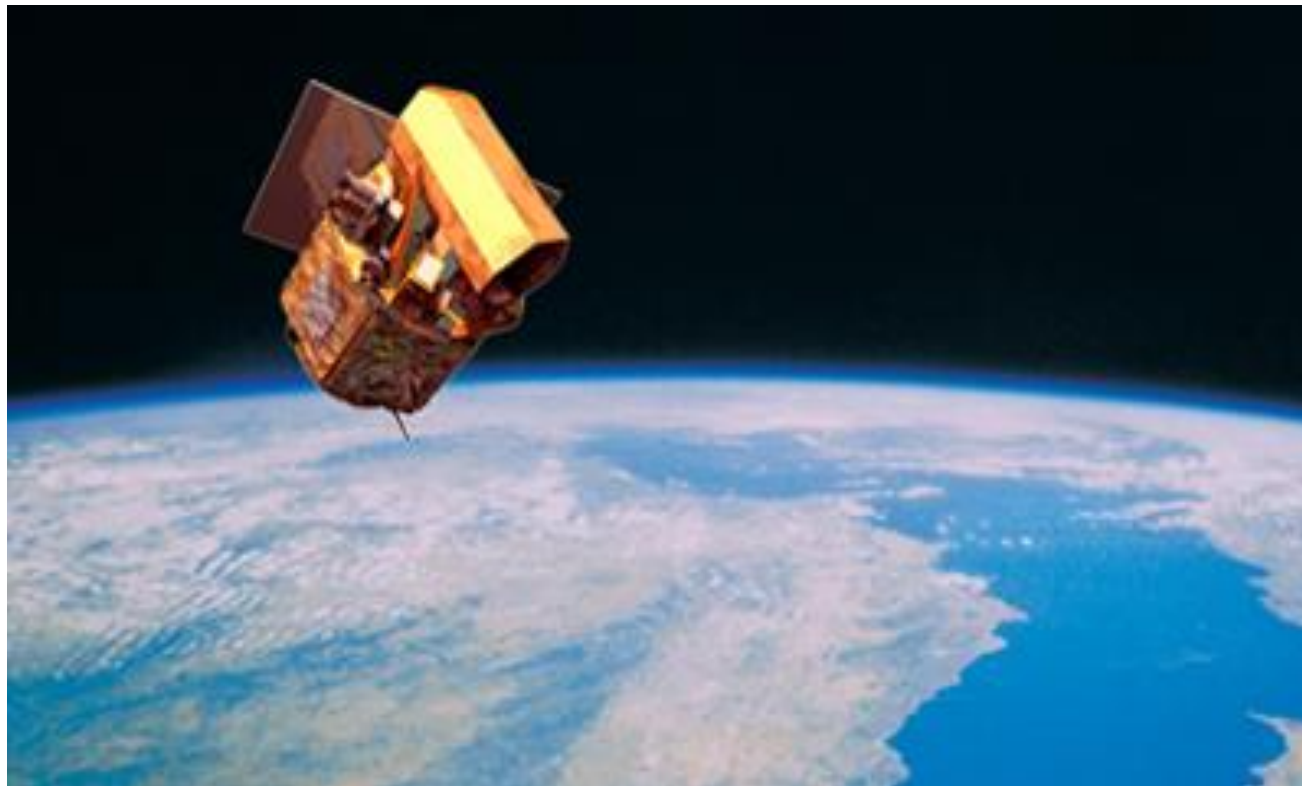
TIMED-GUVI OI135.6nm disk scan 2002 269



GIM TEC YEAR = 2002; DOY = 269; TIME = 22 LT



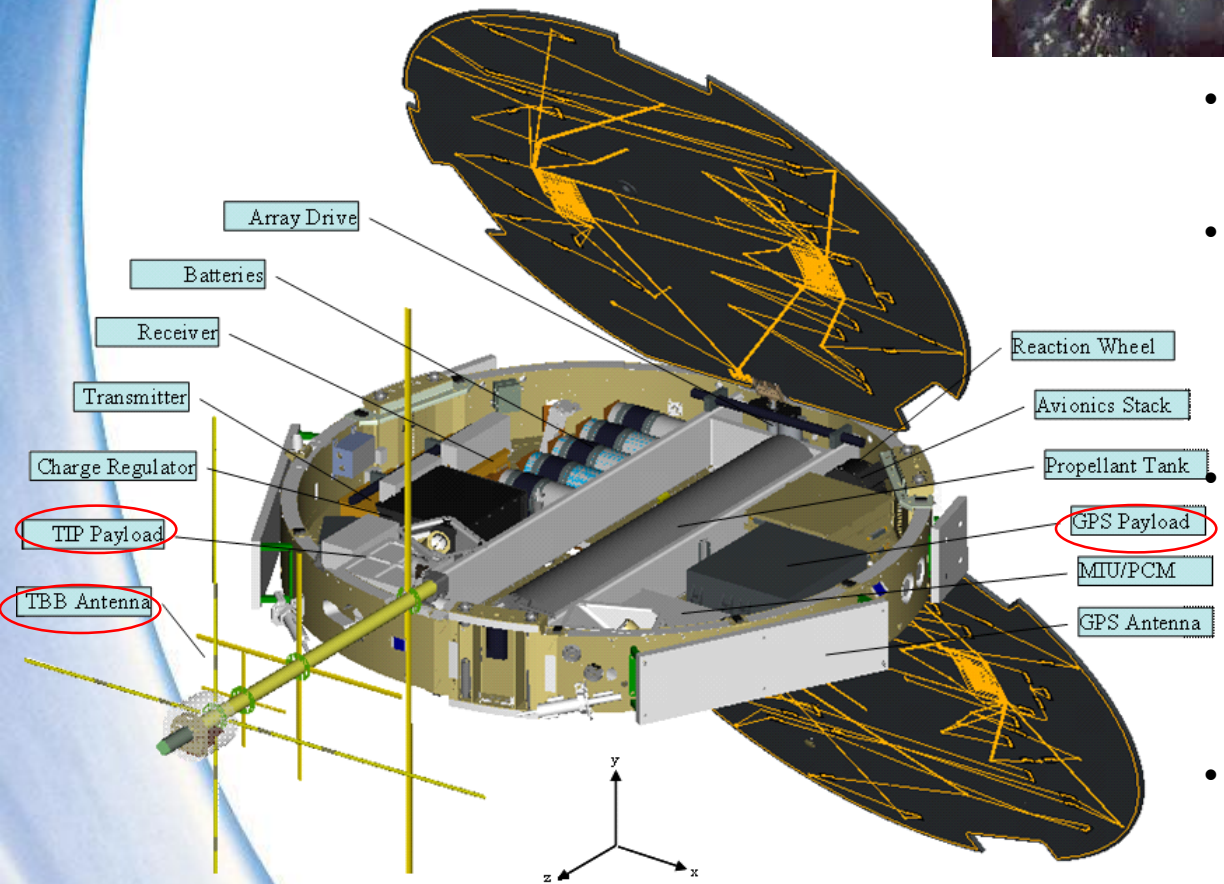
FOMOSAT-2



2006/12/18 14:53:35.385

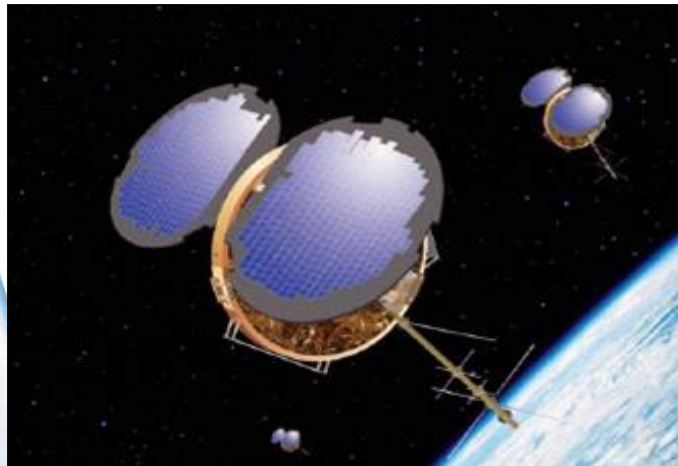
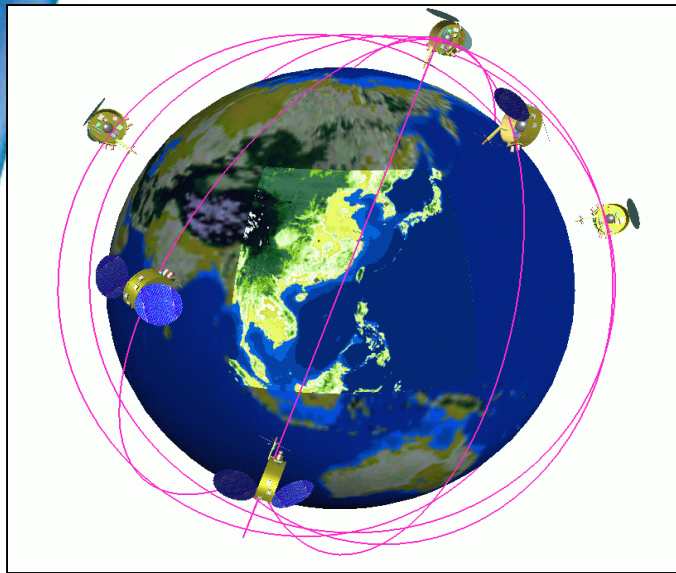


FORMOSAT-3 COSMIC



- The FORMOSAT-3/COSMIC system is a constellation of 6 LEO micro-satellites
- Each satellite carries 3 payloads:
 - **GPS occultation receiver**
 - **Tiny Ionospheric Photometer**
 - **Tri-Band Beacon.**
- Global observation of pressure, temperature, water vapor, refractivity, ionospheric electron density and scintillation for weather and space weather research as well as climate monitoring
- Demonstrate quasi-operational GPS limb sounding with global coverage in near-real time

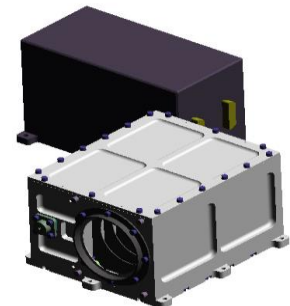
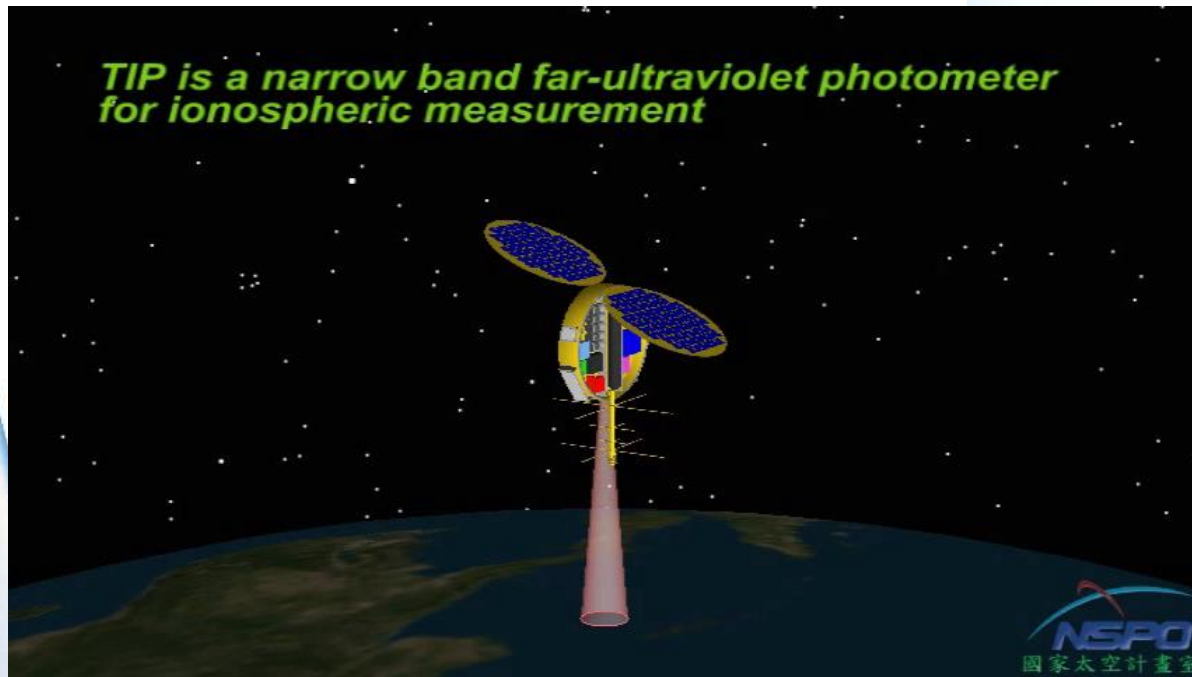
FORMOSAT-3/COSMIC Program



An international cooperation program between NSPO and UCAR, USA

- The FORMOSAT-3/COSMIC system is a constellation of 6 LEO micro-satellites
- Each satellite carries 3 payloads:
 - **GPS occultation receiver**
 - **Tiny Ionospheric Photometer**
 - **Tri-Band Beacon.**
- Global observation of pressure, temperature, water vapor, refractivity, ionospheric electron density and scintillation for weather and space weather research as well as climate monitoring
- Demonstrate quasi-operational GPS limb sounding with global coverage in near-real time

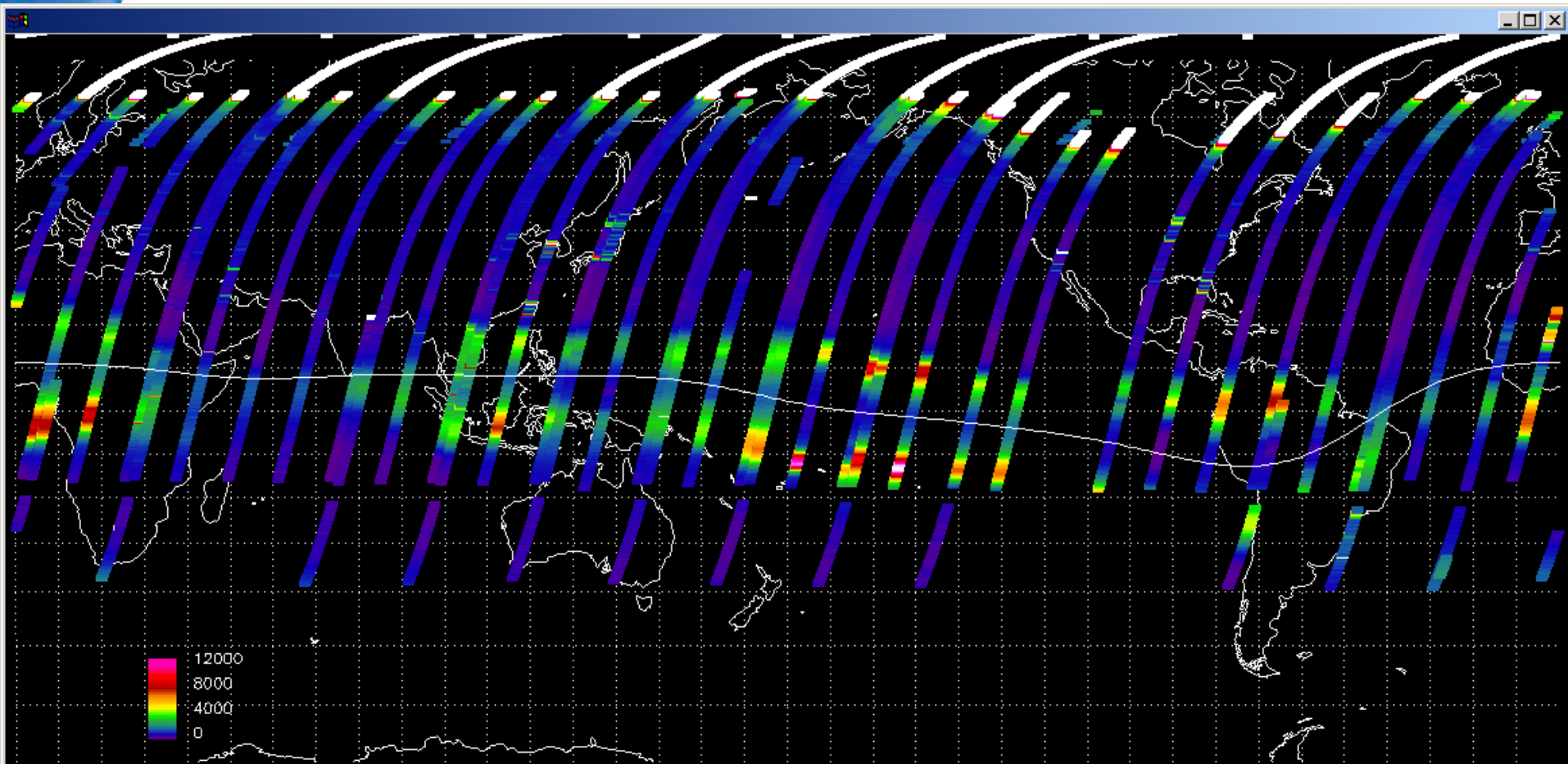
Tiny Ionospheric Photometer (TIP)



TIP 135.6-nm passes 14 Sep 2006

FM1 FM3 FM6

0-24 UT (2100 LT)



Ground based observation

6300, 5577 and 7774A airglow

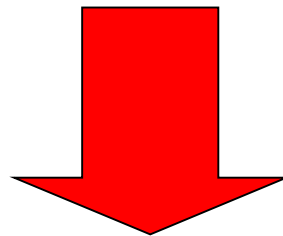
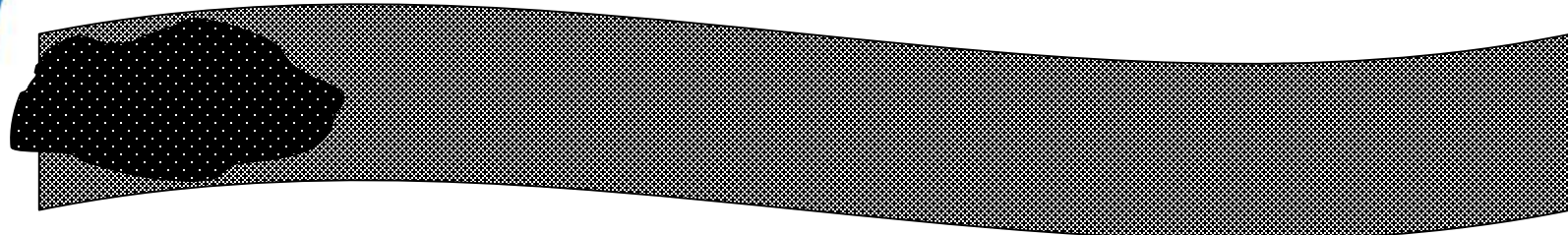
Plasma Depletions



- Large scale irregularities
- N-S extent of more than 1000 km
- Few 100 km E-W extent (width)
- Generated at the equator
- Move in zonal and vertical directions

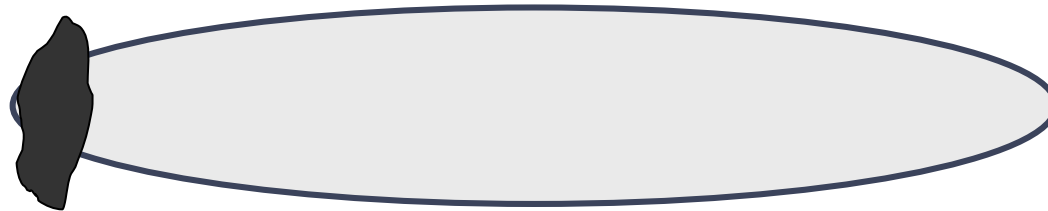
2002 February 15
630.0nm

Imaging Plasma Depletions



North

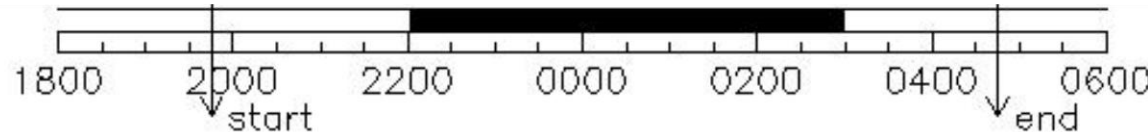
West



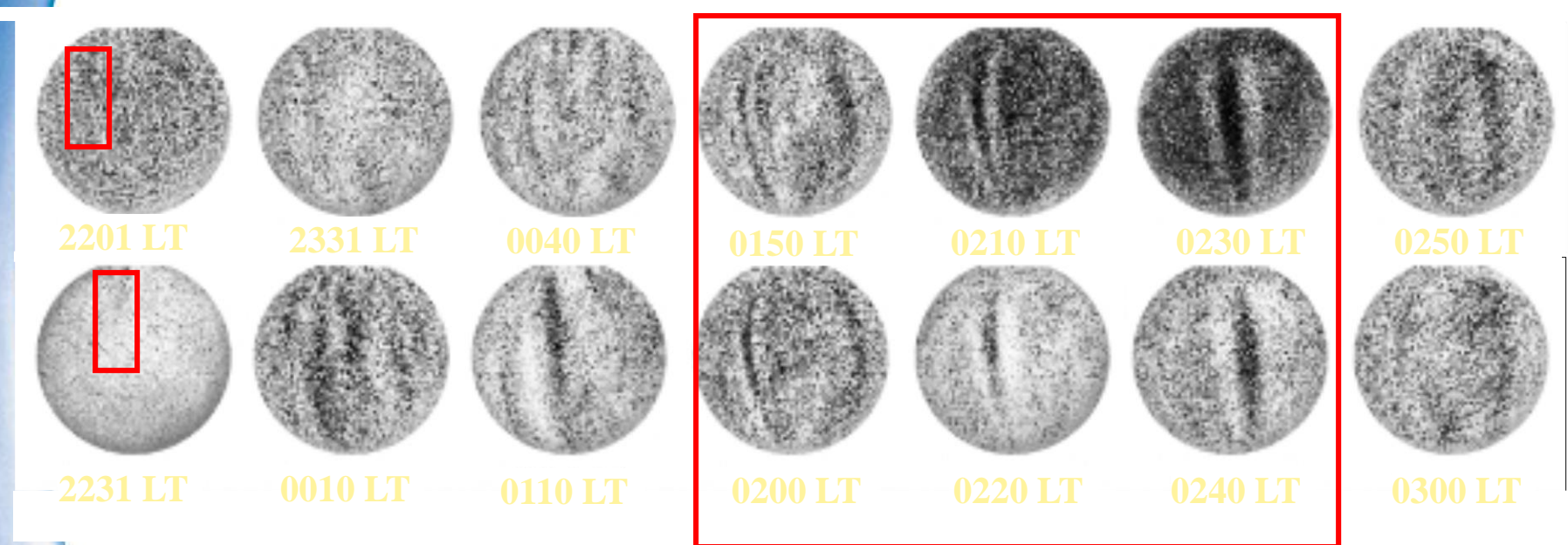
South

East

Depletions in 557.7 nm



12 March 2002

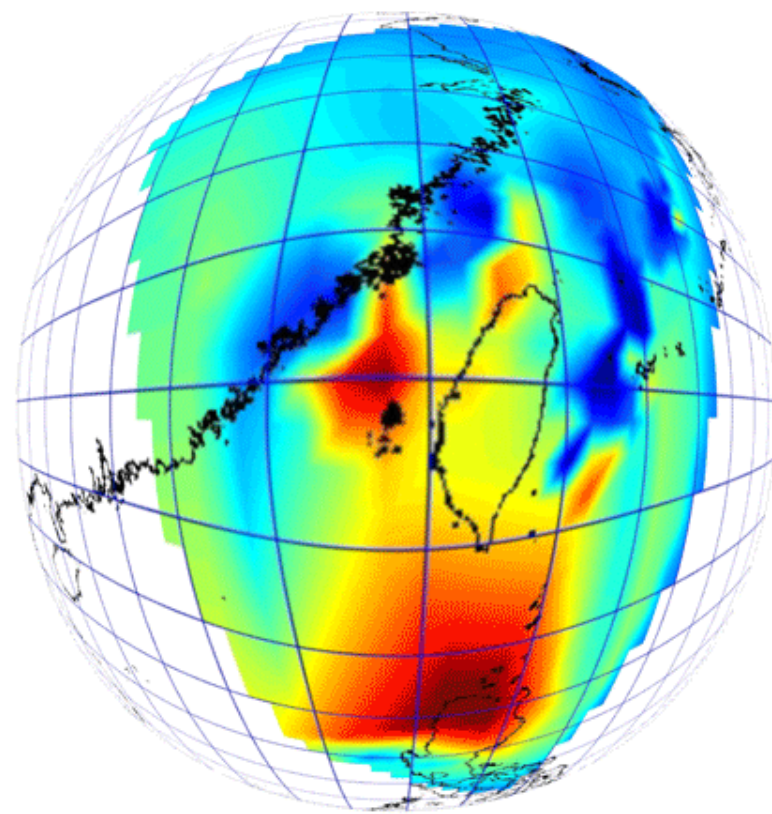
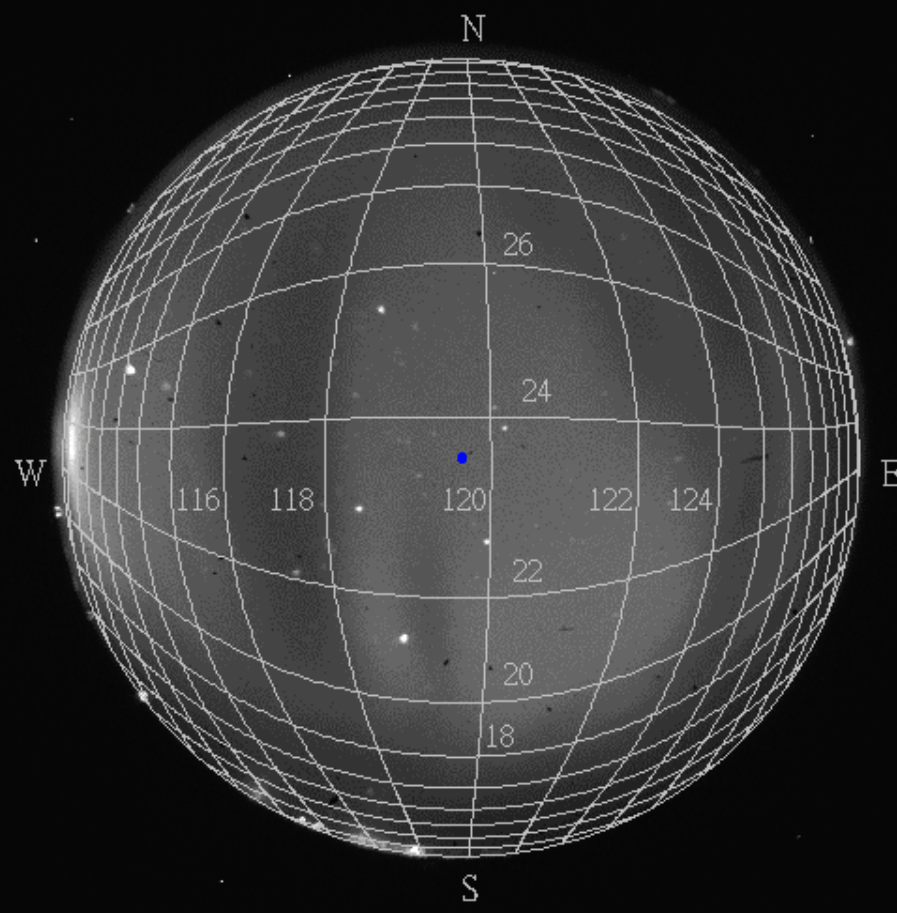


Prominent depletions

East-west width about 70-85 km

Eastward velocity about 55-60 m/s

2000/03/04 20:17:30 LT

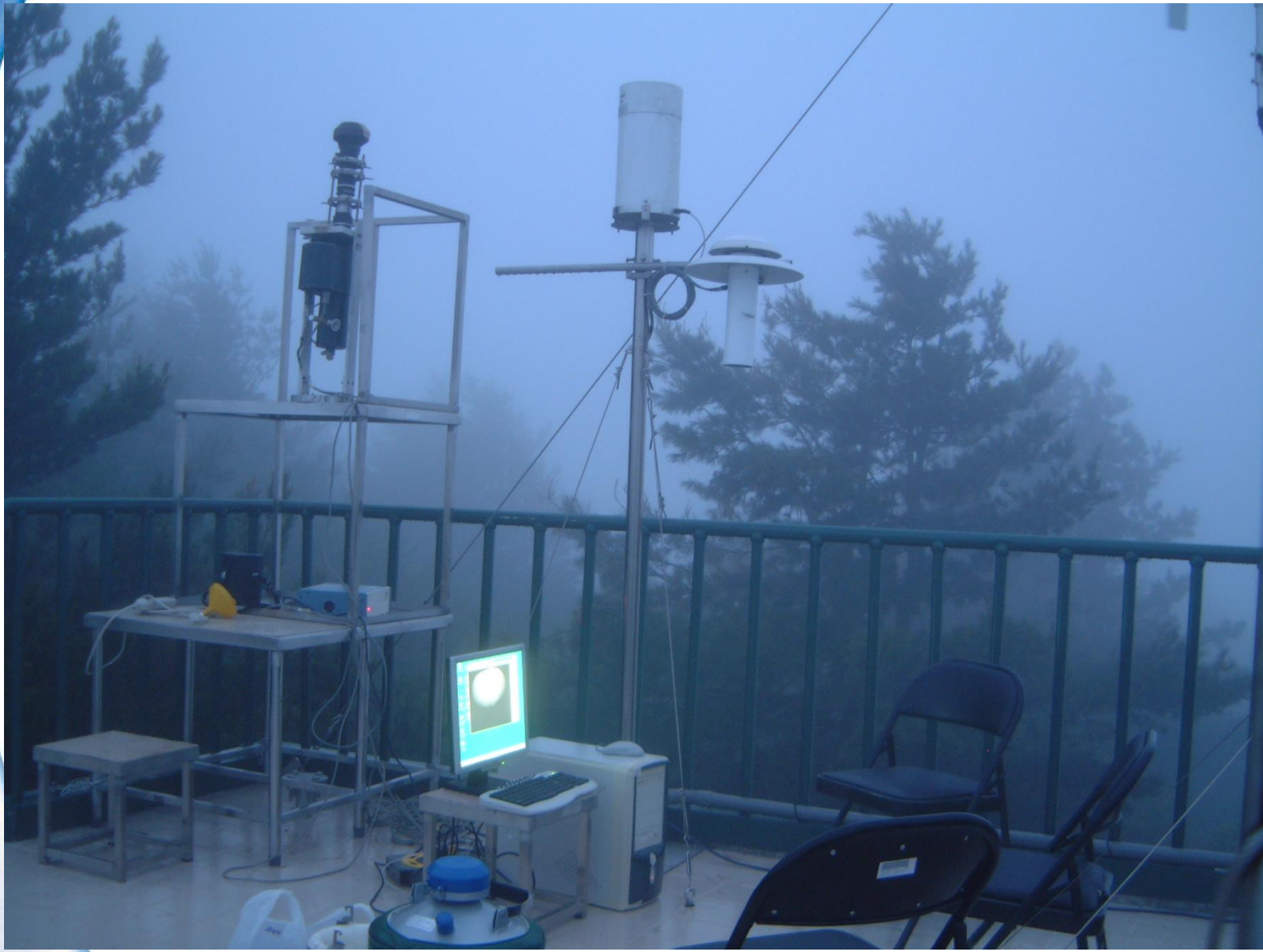


2006-8/12 Airglow Campaign

- Lulin (23.5°N, 120.9°E)

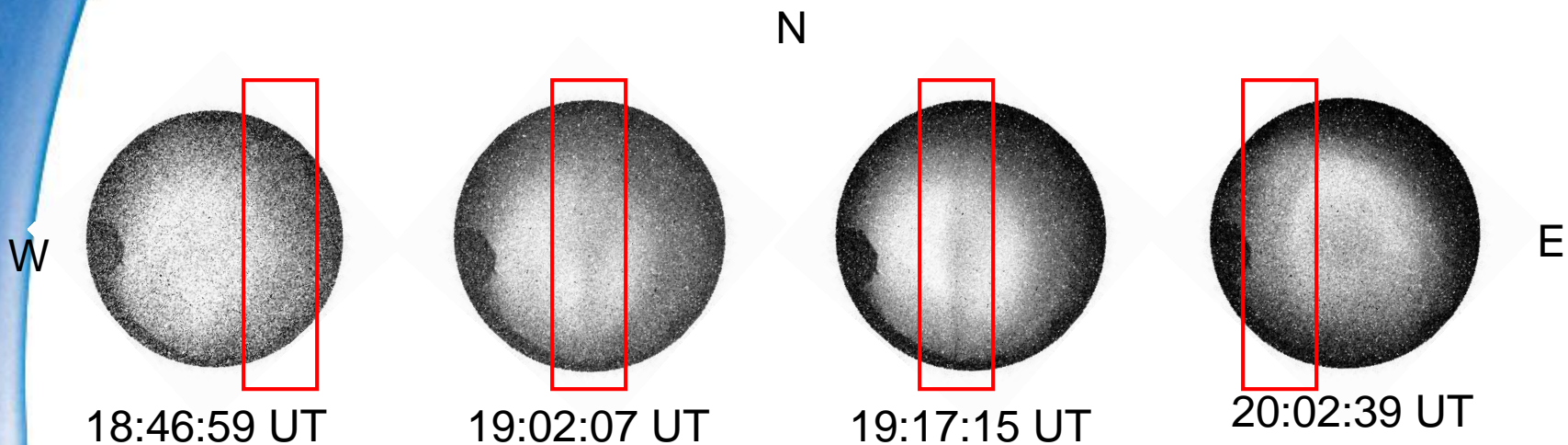


Ground based facility



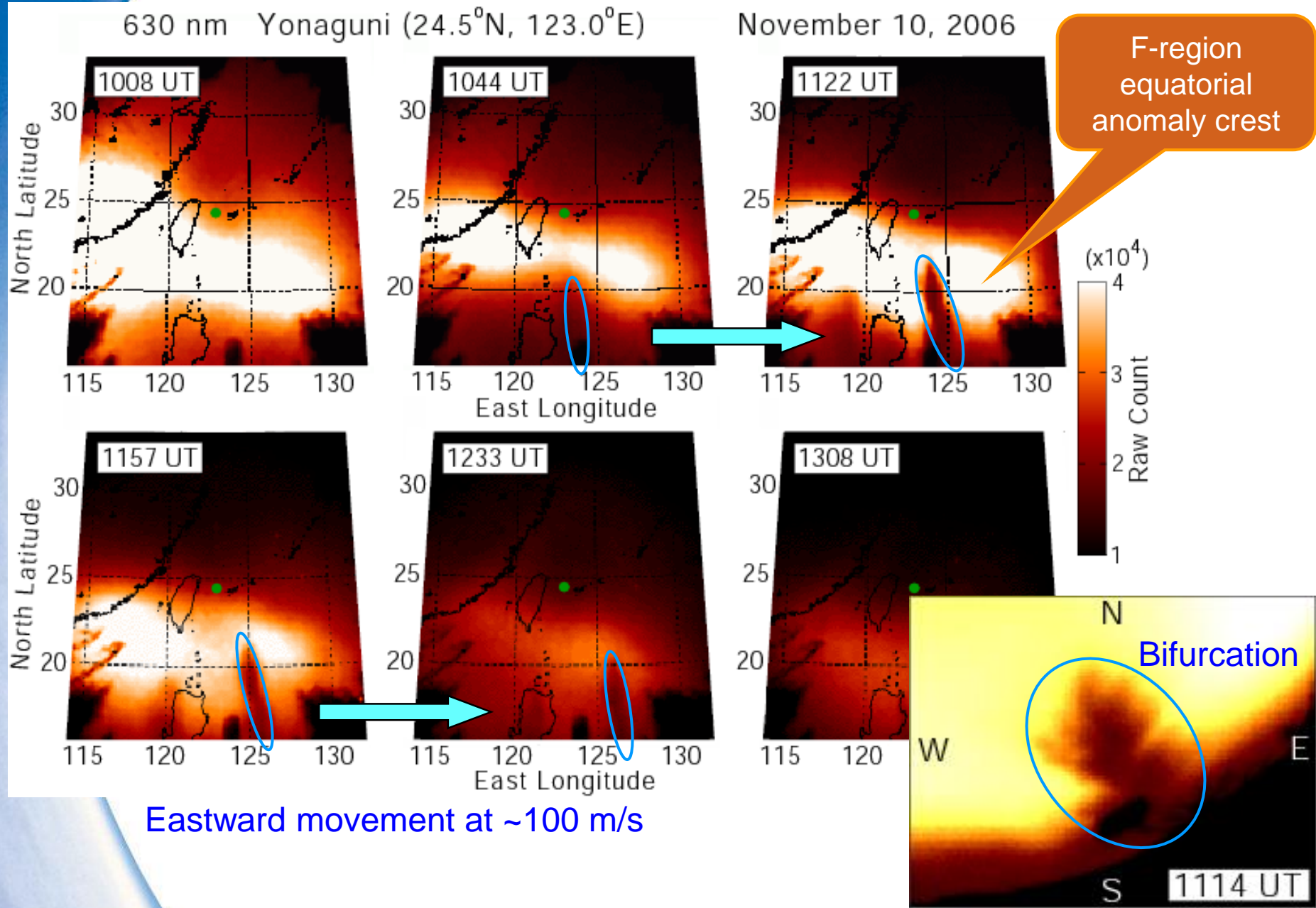
Westward drifting depletions

22 December 2006
630.0 nm
Exposure: 4 min



Depletions in general drifts eastwards with ambient plasma drift

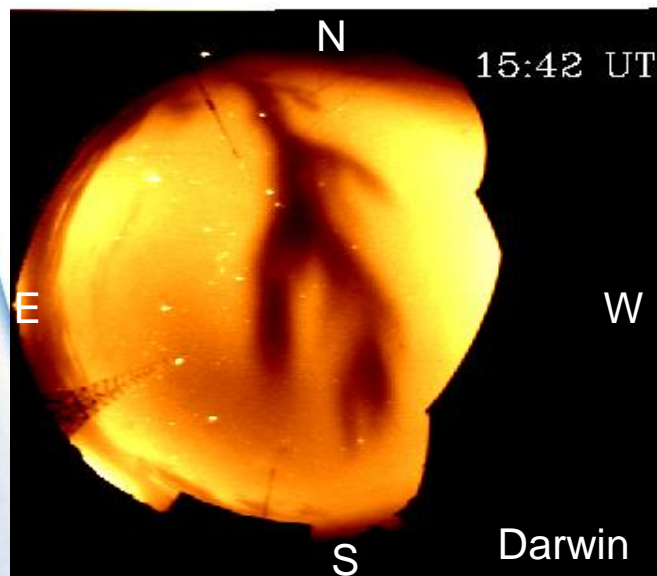
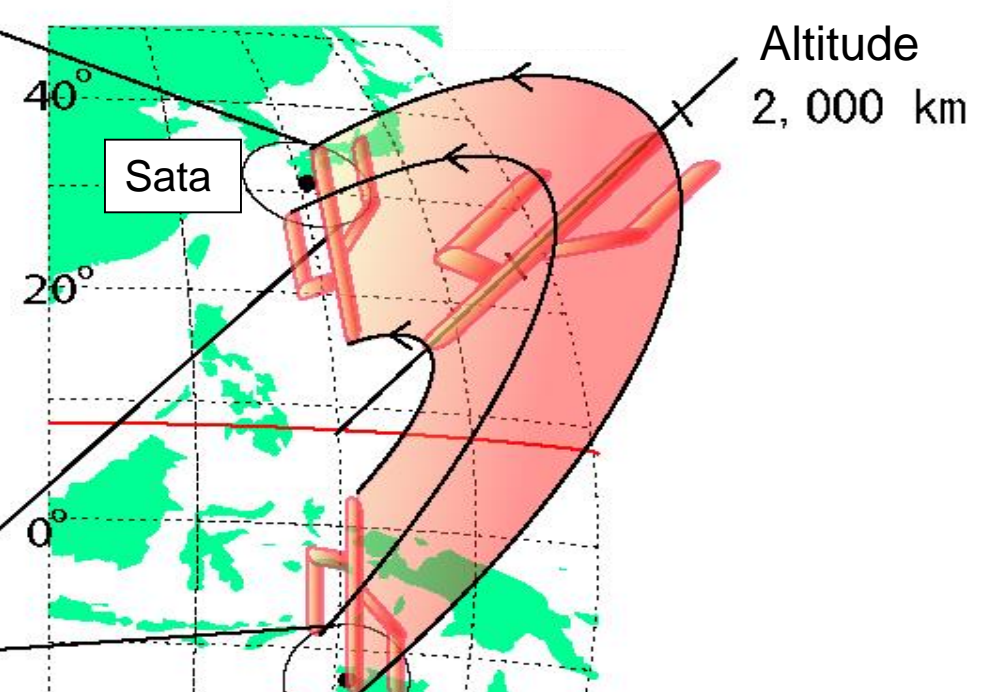
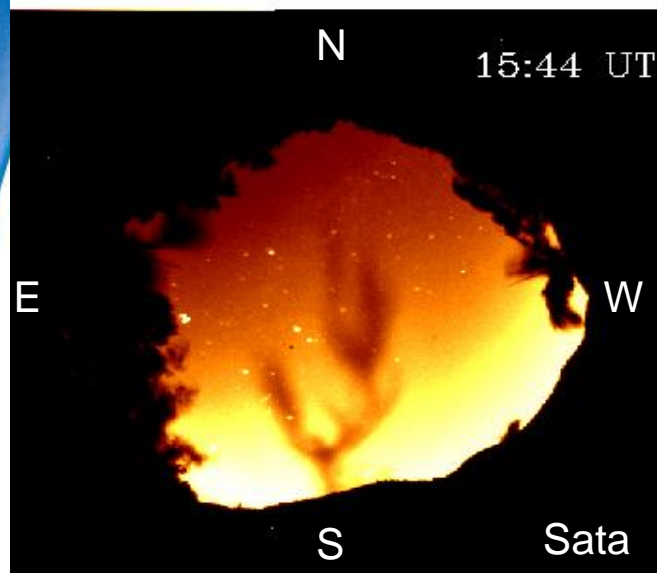
Plasma Bubbles on November 10, 2006



Giant Geomagnetic-Conjugate Plasma Bubbles

630-nm All-Sky Image Nov. 12, 2001

(Otsuka et al., 2002)



Both bubble images are quite similar, indicating that bubble structures are elongated along geomagnetic field.

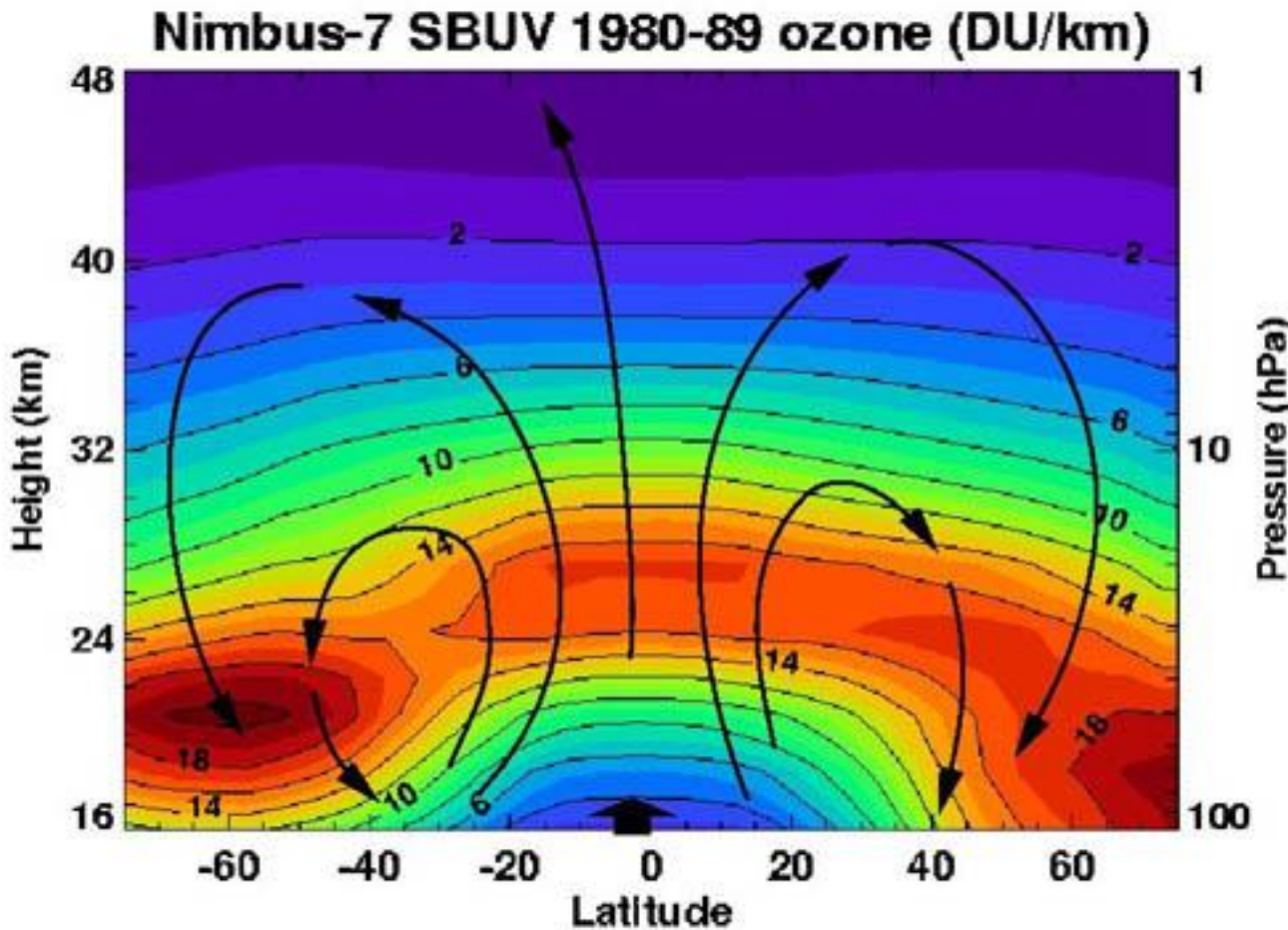


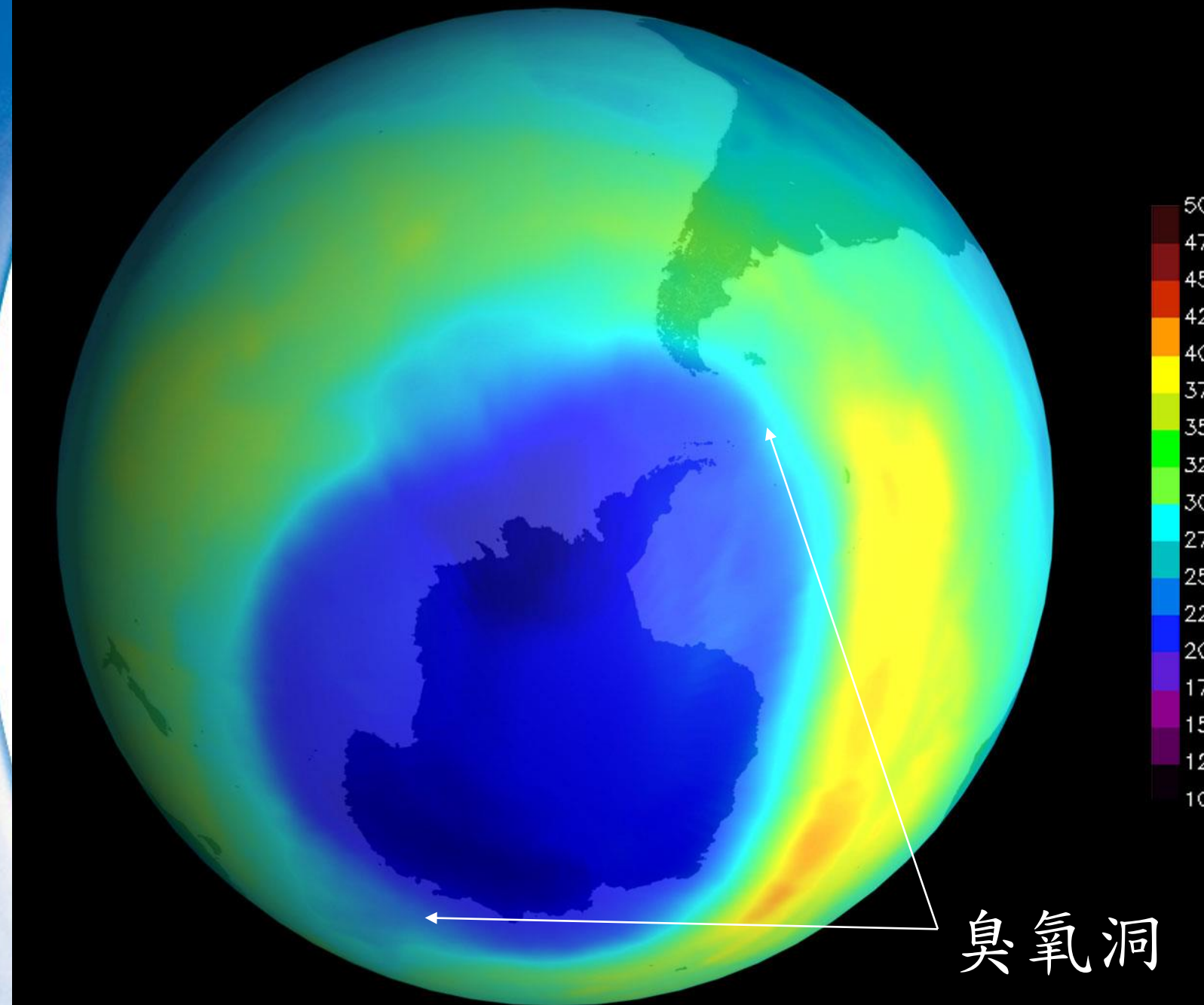
大氣盾：中性大氣層

Copyright 2001 by Akira.Inaka. All Rights Reserved

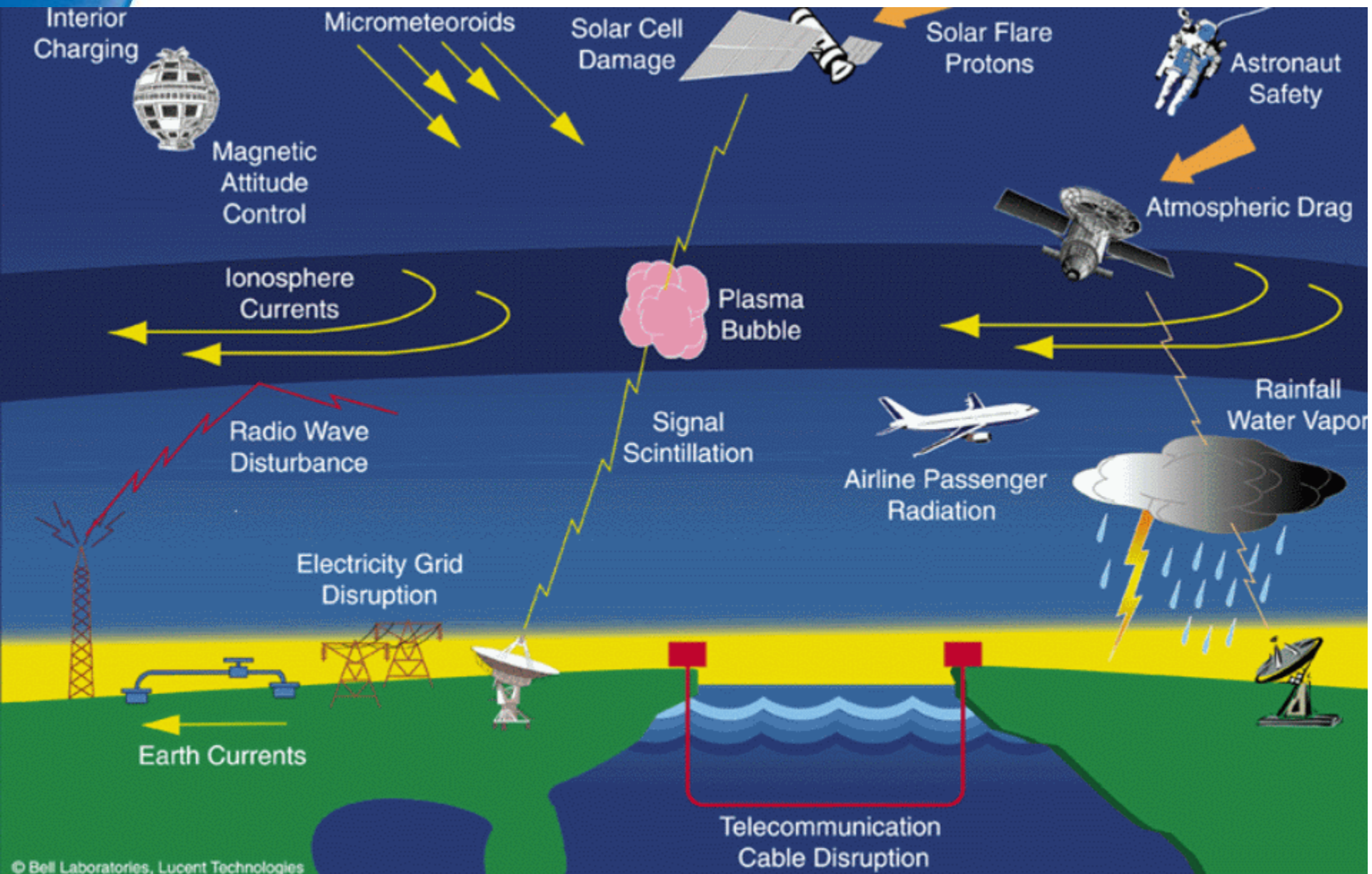
超紫外線盾：臭氧層

- 臭氧層位在平流層，距地表上空15~40公里處，濃度約在2~8 ppm
- $O_3 + \text{ultraviolet light} \rightarrow O + O_2$
- 阻隔紫外線(Ultraviolet)波段：270~400 nm

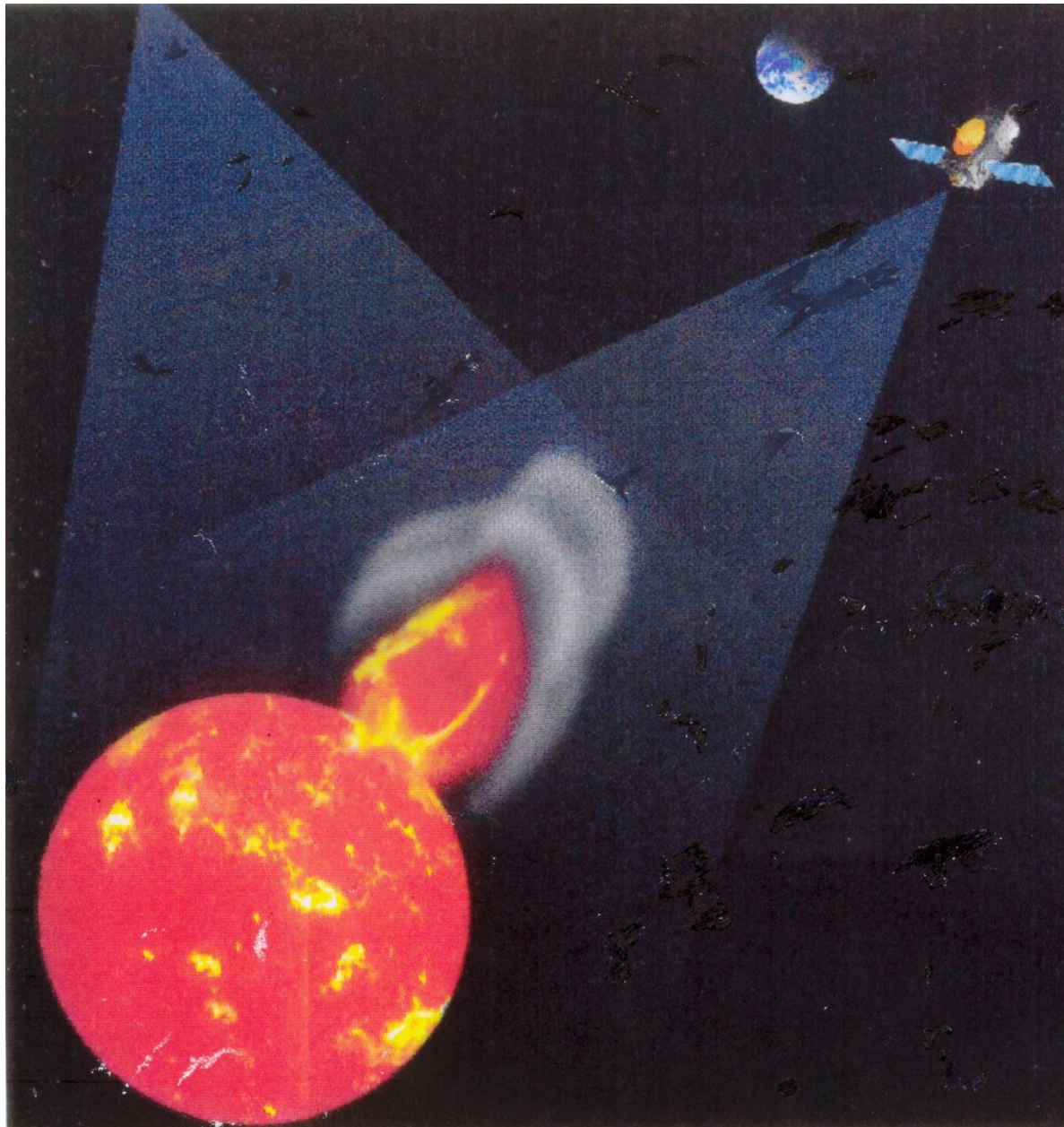




太空天氣與我們



太空天氣:太陽風暴



今上天午八點

太陽暴磁陽地球

可能干擾衛星及地表電訊通訊

人類危會生不

美國和加拿大的電力公司表示，他們已經作好準備，防範太陽磁暴的震波可能破壞發電設施和傳輸系統。一九八九年三月十三日發生的太陽磁暴造成最惡劣「太空氣候」，導致加拿大魁北克電力公司大停擺，美國東北部的高壓電力網也幾乎全部瘫痪。

一九九四年一月，一場帶有幾千萬伏特高壓的太陽磁暴擊中加拿大一枚電視廣播的主力衛星，毀損這枚衛星的重力輪，導致它在地球軌道飄浮六個月後，專家才把這枚衛星重新修復定位。更早之前至少還有三次太陽磁暴造成電力中斷，影響美國和加拿大數以百萬計民眾的生活，分別發生在一九六五年十一月、一九七七年七月和一九八九年三月。

上次它打壞了一顆衛星

預測噴發時間 科學家努力目標

（記者楊維敏台北報導）太陽昨天又出現日冕噴發現象。

美空總署太陽觀測計畫合

作主持人吳式燦教授指出，近幾次日冕噴發都

對地球產生明顯影響，雖然不會造成生命傷亡，但對通訊經濟活動都有很大的影響，直至

這一次噴發會有什麼影響，科學家正在密切觀察之中。

日冕噴發現象是指其粒子突然向外射出，形成磁爆，發生的週期大約與太陽黑子高峰期相

同，每十一年左右會有一次大噴發，但在平時

因太陽活動程度不同，也會有規模大小不定的噴發。

鑑於近幾次日冕噴發都對地球通訊造成極大的影響，美國與歐洲的太空總署攜手合作，於一九九五年展開太陽觀測計畫（SOHO），昨天的外電報導即是根據美國太空總署這項觀測計畫的結果所發布。吳式燦教授正是這項

計畫的合作主持人，他目前接受中央大學邀請

，正在中大進行客座講學。

他說日冕噴發是一種大型的太陽表面活動，

由於會產生以百萬噸計的帶電粒子噴出，對地

球最嚴重的影響就是干擾通訊。例如，一九八

二年雷根總統赴北京訪問，飛行途中正好遇到

這些粒子的干擾，以致機上通話中斷分分鐘之

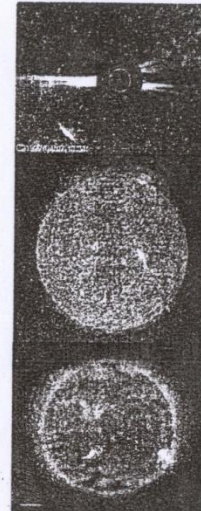
久。去年在挪威舉行的冬季奧運會也碰上日冕

噴發，結果日本的一顆通訊衛星也中斷通訊，由

於那次的噴發方向正對地球，所形成的磁暴打

壞了一顆AT&T的通訊衛星。

吳式燦教授指出，日冕噴發不會造成生命傷亡，但鑑於它對通訊的影響太大，美歐太空總署才決定展開SOHO計畫，初期的目標是希望可以預測日冕噴發時間與規模，以採取適當的應對措施，降低可能的影響。



宇宙奇觀

根據美國美航國航空總署和歐洲空天總署聯合發射的衛星SOHO拍攝的照片顯示，太陽表面噴出光輪狀的磁暴，並以時速超過三百廿萬公里的高速，如同海嘯般捲向地球，預料在柏林威治時間明天凌晨零時（台灣時間今天上午八時）觸及地球外圍的大氣層。這股太陽磁暴可能會干擾地球軌道上的通訊衛星和地表的高壓電力網，但不會對人類造成傷害。

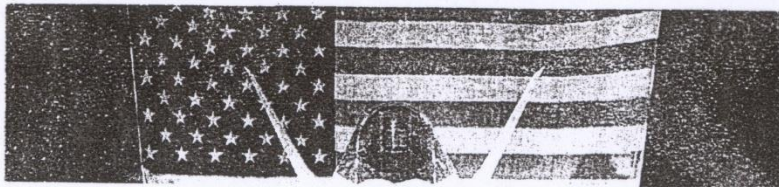
太空總署的太陽物理學家湯普森女士表示，太陽磁暴最大的威脅可能破壞衛星、發電器、高壓電力網和其他依賴地球電磁場的科技裝置。

不過，根據太空總署的「典型指標」衡量，此次太陽磁暴的規模並不會影響電力網，也不至於干擾一般電台、電話、電視和有線通訊，破壞力最大的太陽磁暴中心也不會直接通過地球。這場磁暴不至於危害在軌道中的太空人，更不會對地球居民造成傷害。

但由於這股太陽磁暴的範圍廣達四千八百萬公里，將影響地球外圍的大氣環境，並使地表高緯度地區南、北極產生強大的極光。

根據太空總署昨晚偵測太陽磁暴行程的資料顯示，如果噴發沒有通過地球，即表示太陽磁暴已經轉向，對地球的影響將微乎其微。太空總署也說，若以太陽磁暴的體積相比，本週發生的太陽能量噴發只不過在釋放一個小小的火球。

最近一次太陽磁暴發生在今年一月六日，致使「美國電話電報公司」（AT&T）一枚造價兩億美元的通訊衛星（Telstar 401）完全停擺。



宇宙奇觀

根據美國美航國航空總署和歐洲空天總署聯合發射的衛星SOHO拍攝的照片顯示，太陽表面噴出光輪狀的磁暴，並以時速超過三百廿萬公里的高速，如同海嘯般捲向地球，預料在柏林威治時間明天凌晨零時（台灣時間今天上午八時）觸及地球外圍的大氣層。這股太陽磁暴可能會干擾地球軌道上的通訊衛星和地表的高壓電力網，但不會對人類造成傷害。

太空總署的太陽物理學家湯普森女士表示，太陽磁暴最大的威脅可能破壞衛星、發電器、高壓電力網和其他依賴地球電磁場的科技裝置。

不過，根據太空總署的「典型指標」衡量，此次太陽磁暴的規模並不會影響電力網，也不至於干擾一般電台、電話、電視和有線通訊，破壞力最大的太陽磁暴中心也不會直接通過地球。這場磁暴不至於危害在軌道中的太空人，更不會對地球居民造成傷害。

但由於這股太陽磁暴的範圍廣達四千八百萬公里，將影響地球外圍的大氣環境，並使地表高緯度地區南、北極產生強大的極光。

根據太空總署昨晚偵測太陽磁暴行程的資料顯示，如果噴發沒有通過地球，即表示太陽磁暴已經轉向，對地球的影響將微乎其微。太空總署也說，若以太陽磁暴的體積相比，本週發生的太陽能量噴發只不過在釋放一個小小的火球。

最近一次太陽磁暴發生在今年一月六日，致使「美國電話電報公司」（AT&T）一枚造價兩億美元的通訊衛星（Telstar 401）完全停擺。

人造衛星

電離層暴

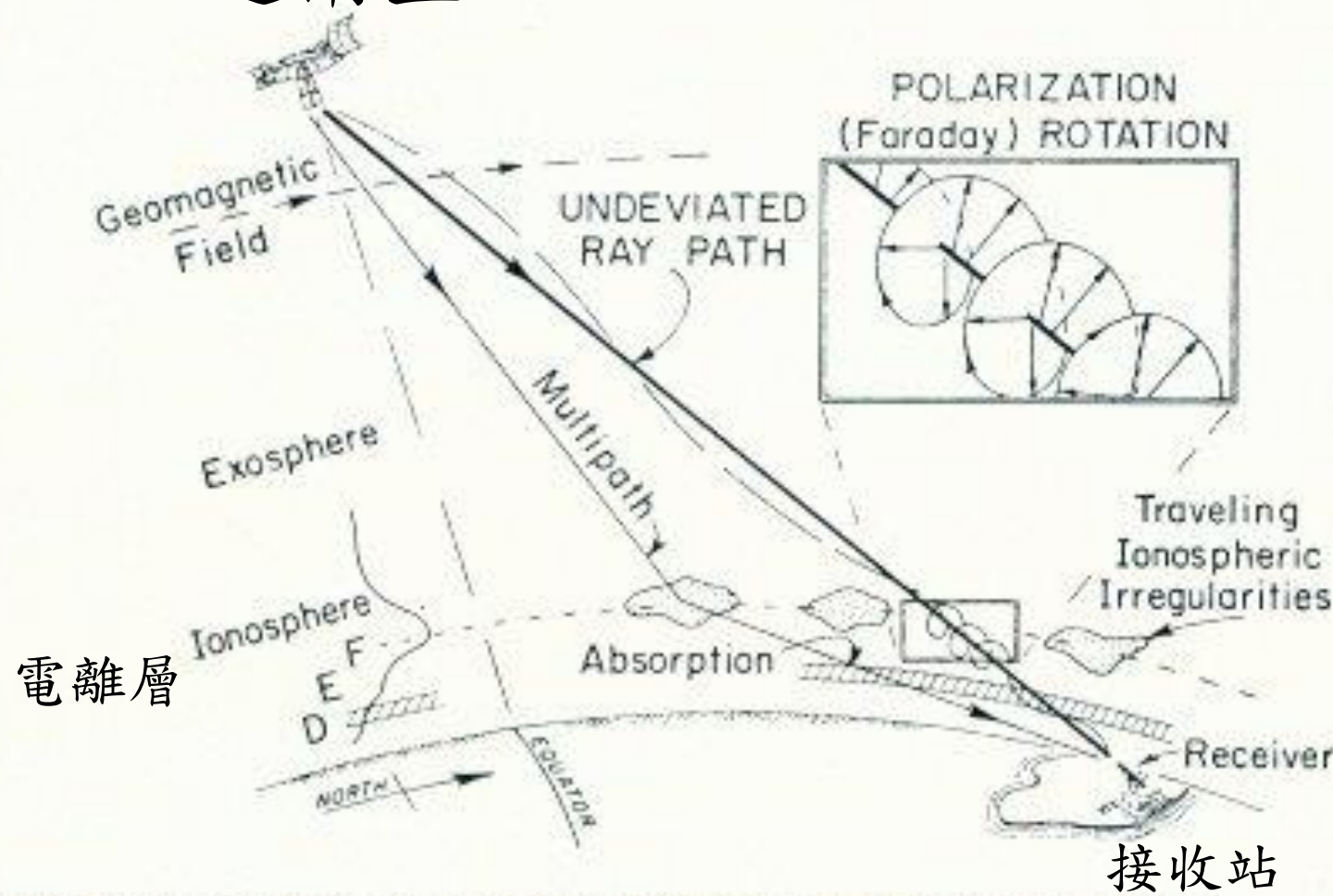
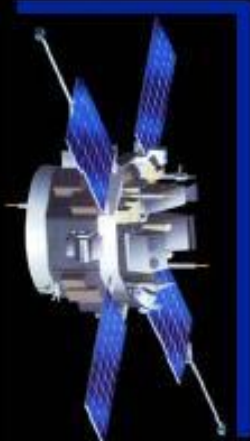


Fig. 8.15 Major ionospheric propagation effects on satellite-to-ground links

These include Faraday rotation of the electric field, group delay, scattering and multipath caused by irregularities, phase and amplitude fluctuations caused by traveling ionospheric disturbances, and absorption in the D region

太陽風暴對人類之影響

When CME's impact Earth



Click on image to play video
Spacecraft malfunctions

Click on image to play video
Power system damage
(a fried transformer)

Radiation danger for astronauts

卡靈頓事件

1895

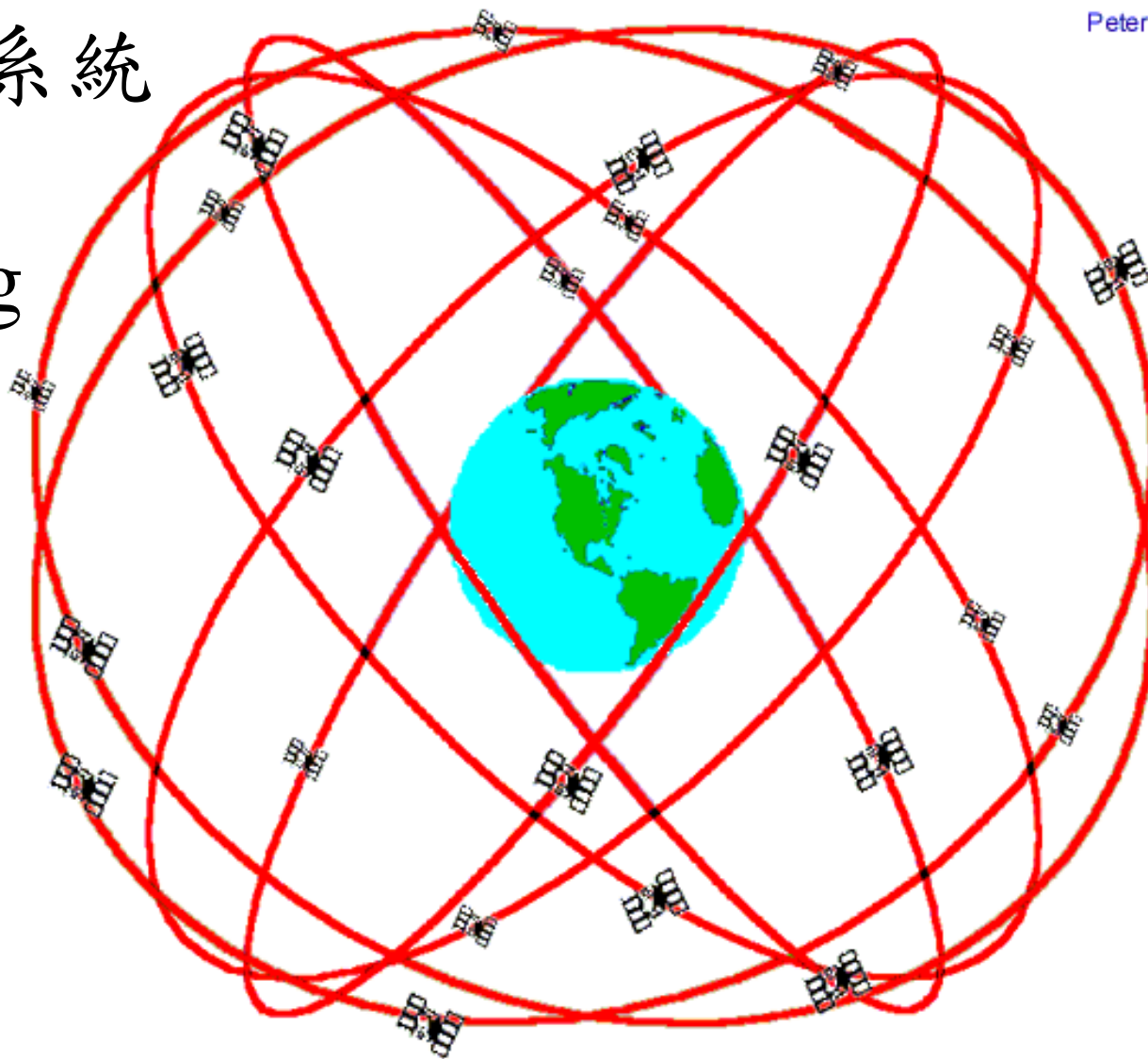
08/28-09/04 Communication
disruptions



Navigational problems

全球定位系統 Global Positioning System

Peter H. Dana 9/22/98



GPS Nominal Constellation
24 Satellites in 6 Orbital Planes
4 Satellites in each Plane
20,200 km Altitudes, 55 Degree Inclination

我們未來的家

